

**RĪGAS TEHNISKĀ UNIVERSITĀTE**

DATORZINĀTNES UN INFORMĀCIJAS  
TEHNOLOGIJAS FAKULTĀTE

Lietišķās matemātikas institūts



**Irina Eglīte**

**ŠĶIDRUMA PLŪSMAS STABILITĀTES ANALĪZE  
AR PIELIETOJUMIEM HIDRAULIKĀ**

**Promocijas darba kopsavilkums**

Doktora grāda iegūšanai matemātikas nozarē  
Apakšnozare: matemātiskā modelēšana

Zinātniskais vadītājs:  
prof. Dr. math. Andrejs Koliškins

RTU Izdevniecība

Rīga 2016

Eglīte I. Šķidruma plūsmas stabilitātes analīze ar pielietojumiem hidraulikā.

Promocijas darba kopsavilkums. – R.: RTU Izdevniecība, 2016. – 55 lpp.

Izdots saskaņā ar RTU inženiermatemātikas katedras 2016. gada 8. novembra lēmumu, protokols Nr. 12501 – 1/4.

Promocijas darbs izstrādāts Rīgas Tehniskās universitātes  
Datorzinātnes un informācijas tehnoloģijas fakultātē,  
Lietišķās matemātikas institūta Inženiermatemātikas katedrā  
laika posmā no 2010. gada līdz 2015. gadam.



Darbs daļēji ir atbalstīts ar ESF projektu  
“Atbalsts RTU doktora studiju īstenošanai”  
Nr. 2009/0144/1DP/1.1.2.1.2/09/IPIA/VIAA/00

Darbs sastāv no ievada, 6 nodaļām, secinājumiem, literatūras saraksta.

Darba forma: disertācija matemātikas nozarē, matemātikas modelēšanas apakšnozarē.

Darba zinātniskais vadītājs: prof. *Dr. math.* Andrejs Koliškins

Darba recenzenti:

- 1) Em. prof. *Dr. habil. math., Dr. habil. phys.* Harijs Kalis (LU MII),  
padomes loceklis
- 2) Prof. *Dr. habil. phys.* Juris Roberts Kalniņš (Ventspils  
Augstskola)
- 3) *Dr. Konstantin Ilin (University of York, Lielbritānija)*

Promocijas darba aizstāvēšana notiks 2016. gada 16. decembrī Latvijas  
Universitātes matemātikas nozares promocijas padomes atklātā sēdē plkst.  
14.30 Rīgā, Zelļu ielā 25, Latvijas Universitātes Fizikas un matemātikas  
fakultātes Matemātikas nodaļā, 233. auditorijā.

Ar promocijas darbu un tā kopsavilkumu var iepazīties Latvijas  
Universitātes Bibliotēkā, Rīgā, Kalpaka bulvārī 4.

LU matemātikas zinātņu nozares promocijas  
padomes priekssēdētājs \_\_\_\_\_ /Andrejs Reinfelds/

promocijas padomes sekretārs \_\_\_\_\_ /Jānis Cepītis/

## Anotācija

Promocijas darbā tiek veikta plūsmu lineārā un vāji nelineārā stabilitātes analīze seklos sajaušanās slāņos. Plūsma tiek pieņemta kā nedaudz izliekta garenvirzienā. Lineārā stabilitāte tiek analizēta no laika un telpas aspektiem saskaņā ar „cietā vāka” pieņēmumu. Atbilstošās lineārās stabilitātes problēmas tiek risinātas skaitliski, izmantojot pseidospektrālo kolokācijas metodi, kas balstās uz Čebiševa polinomiem. Turklat problēma ir vispārināta divu komponenšu seklām plūsmām ar lielo Stoksa skaitlu pieņēmumu. Berzes koeficients mainās šķērsvirzienā (literatūrā parasti ir analizēts konstanta berzes koeficienta gadījums, kas ir īpašs gadījums iesniegtā promocijas darbā analīzē).

Analizēta bāzes profila asimetrijas ietekme uz stabilitātes parametriem. Tieki izskatītas divas pieejas vāji nelineārās stabilitātes analīzei. Pirmā pieeja pamatojas uz paralēlu plūsmu pieņēmumu. To var izmantot gadījumā, kad gultnes berzes koeficients ir nedaudz mazāks par kritisko vērtību. Izmantojot vairāku mērogu metodi, tiek iegūts amplitūdas evolūcijas vienādojums nestabilākajam režīmam. Parādīts, ka nedaudz izliektam seklam sajaušanās slānim, kurš var saturēt vai nesaturēt sīkas daļas, amplitūdas vienādojums ir kompleksais Ginzburga–Landau vienādojums. Vienādojuma koeficienti tiek aprēķināti no integrāliem, kas satur plūsmas lineārās stabilitātes parametrus. Tieki aplūkota plakanu vilņu stabilitāte Ginzburga–Landau vienādojumam. Parādīti Ginzburga–Landau vienādojuma skaitliskie aprēķini dažādām parametru vērtībām un sākuma nosacījumiem.

Otra pieeja ņem vērā lēno garenvirziena bāzes plūsmas izmaiņu. Analīzes pamatā ir vāji neparalēla *WKBJ* aproksimācija. Tieki iegūts pirmās kārtas amplitūdas attīstības vienādojums. Amplitūdas vienādojuma atrisinājums tiek izmantots, lai iegūtu pirmās kārtas perturbācijas lauka aproksimāciju.

Atslēgas vārdi: lineārā stabilitāte, vāji nelineārā teorija, vairāku mērogu metode, Ginzburga–Landau vienādojums, kolokācijas metode.

# Saturs

<b>Ievads .....</b>	6
Promocijas darba struktūra .....	6
Tēmas aktualitāte .....	6
Promocijas darba uzdevumi .....	6
Izpētes metodes .....	7
Zinātniskā novitāte un galvenie rezultāti .....	7
Pielietojumi .....	8
Publikāciju saraksts .....	8
Prezentācijas starptautiskās konferencēs.....	10
Prezentācijas vietējās konferencēs .....	11
<b>1. Problemas matemātiskais formulējums .....</b>	12
1.1. Literatūras apskats .....	12
1.2. Seklā ūdens vienādojumi .....	13
<b>2. Stabilitāte nedaudz izliektas seklā ūdens plūsmas sajaukšanās slāņiem .....</b>	14
2.1. Lineārā stabilitāte .....	14
2.2. Skaitliskā metode lineārai stabilitātei.....	17
2.3. Vāji nelineārās metodes.....	19
2.4. Skaitliskā metode vāji nelineārai stabilitātei.....	25
<b>3. Lineārā un vāji nelineārā stabilitāte divu komponenšu nedaudz izliektu seklā ūdens plūsmu sajaukšanās slāņiem.....</b>	26
3.1. Lineārā stabilitāte .....	26
3.2. Vāji nelineārā stabilitāte .....	27
<b>4. Stabilitāte garenvirzienā nedaudz izliektu seklā ūdens plūsmu sajaukšanās slāņiem .....</b>	31
4.1. Lineārā stabilitāte .....	31
4.2. Vāji nelineārā stabilitāte .....	33
<b>5. Stabilitāte seklā ūdens plūsmu sajaukšanās slāņiem ar mainīgu berzi .....</b>	36
5.1. Lineārā stabilitāte .....	36
5.2. Vāji nelineārā stabilitāte .....	41
<b>6. Skaitliskie rezultāti .....</b>	44
<b>Secinājumi .....</b>	50
<b>Literatūra .....</b>	51

## Ievads

### Promocijas darba struktūra

Promocijas darba galvenais mērķis ir izstrādāt matemātiskos modeļus, ko var izmantot, lai analizētu lineāru un vāji nelineāru nestabilitāti seklā ūdens plūsmu sajaukšanās slāņiem. Tieki pieņemts, ka plūsma ir nedaudz izliekta garenvirzienā un berzes koeficients ir funkcija no šķērsvirziena koordinātas.

Darbs sastāv no ievada, 6 nodaļām un secinājumiem. Darbs satur 104 lappuses. Darbā ir 19 attēli un 69 atsauces. Darbs rakstīts angļu valodā.

1. nodaļa sniedz promocijas darbā izmantotās literatūras pārskatu. Ir aprakstīti pamata vienādojumi, kas izmantoti darbā.

2. nodaļā tiek detalizēti izskatīta lineārās un vāji nelineārās stabilitātes metožu analīze nedaudz izliektu seklā ūdens plūsmu sajaukšanās slāņiem. Tieki analizētas skaitliskās metodes, ko izmanto stabilitātes problēmas risināšanā.

3. nodaļa ir veltīta līdzīgu problēmu analīzei nedaudz izliektu divu komponenšu seklā ūdens plūsmu sajaukšanās slāņiem. Lineārā un vāji nelineārā stabilitātes analīze tiek veikta saskaņā ar lielo Stoksa skaitļu pieņēmumu.

4. nodaļa ir veltīta stabilitātes analīzei pēc  $x$  koordinātas nedaudz izliektu seklā ūdens plūsmu sajaukšanās slāņiem.

5. nodaļa analizē lineāro un vāji nelineāro nestabilitāti seklā ūdens plūsmu sajaukšanās slāņiem ar šķērsvirzienā mainīgu berzi.

6. nodaļa ir veltīta Ginzburga–Landau vienādojuma risinājuma skaitliskai analīzei.

### Tēmas aktuālītāte

Izpratne par mijiedarbību starp ātru un lēnu šķidruma plūsmu seklā ūdens sajaukšanās slāņos ir svarīga, lai analizētu plūsmas upju satecēs un lai projektētu saliku kanālu. Dabā kanāli un upes nav taisnas. Tādējādi, lai pienācīgi projektētu un analizētu saliktus kanālus, būtu jāņem vērā izliekuma ietekme uz stabilitātes īpašībām seklā ūdens sajaukšanās slāņos. Šķērsvirzienā nehomogēnas berzes gadījums ir ļoti svarīgs no vides aizsardzības viedokļa. Berzes koeficients palienē parasti ir lielāks nekā galvenajā kanālā (it īpaši plūdu gadījumā). Virpuļi parasti veidojas slānī, kur mainās ūdens dziļums un pretestības spēks. Komplicētas virpuļu struktūras var uzkrāt piesārņojumus un nosēdumus, tādā veidā kaitējot videi. Tāpēc ir nepieciešams modelis, kas apraksta seklā ūdens plūsmu, kā arī metodes, kas lauj veikt plūsmas stabilitātes analīzi un sekot līdzi perturbācijas attīstībai.

### Promocijas darba uzdevumi

1. Lineārās un vāji nelineārās stabilitātes analīze nedaudz izliektu seklā ūdens plūsmu sajaukšanās slāņiem.

- Lineārās un vāji nelineārās stabilitātes parametru pētīšana nedaudz izliektu divu komponenšu seklā ūdens plūsmu sajaukšanās slāņiem.
- Pētījums par telpisko stabilitāti nedaudz izliektu seklā ūdens plūsmu sajaukšanās slāņiem.
- Pētījums par lineāro un vāji nelineāro stabilitāti seklā ūdens plūsmu sajaukšanās slāņiem ar nehomogēnu berzi.
- Skaitliskā analīze lineārās un vāji nelineārās stabilitātes modeļiem.

## Izpētes metodes

Darbā izvēlētas bāzes seklā ūdens plūsmas ar samērā vienkāršu struktūru. Kustības vienādojumi ir linearizēti bāzes plūsmas apkārtnē. Linearizētie vienādojumi ir atrisināti ar normālo modu metodi. Atbilstošie lineārie stabilitātes uzdevumi tiek risināti skaitliski, izmantojot pseidospektrālo kolokācijas metodi, kas balstās uz Čebiševa polinomiem.

Aprakstītas divas pieejas vāji nelineārās stabilitātes analīzei nedaudz izliektu seklā ūdens plūsmu sajaukšanās slāņiem, divu fāžu seklā ūdens plūsmām un sajaukšanās slāņiem ar mainīgu berzi. Pirmā pieeja ir balstīta uz pieņēmumu par paralēlu plūsmu. Lai iegūtu visvairāk nestabilā režīma amplitūdas evolūcijas vienādojumu, tiek izmantota vairāku mērogu metode. Otrā pieeja nem vērā bāzes plūsmas lēnas garenvirziena izmaiņas. Analīzes pamatā ir vāji neparalēla *WKBJ* aproksimācija.

## Zinātniskā novitāte un galvenie rezultāti

- Izpētīta ātruma profila asimetrijas ietekme uz lineāro stabilitāti.
- Izpētīta plūsmas liekuma ietekme uz lineāro un vāji nelineāro stabilitāti.
- Izpētīta divu komponenšu lineārā un vāji nelineārā stabilitāte.
- Aplūkotas divas pieejas lineārās stabilitātes problēmas risināšanai:
  - atkarībā no koordinātas  $x$  (*spatial*);
  - atkarībā no laika (*temporal*).
- Aplūkotas divas metodes vāji nelineārās stabilitātes pētījumiem:
  - pie nosacījuma, ka bāzes plūsma nav atkarīga no garenvirziena koordinātas;
  - pie nosacījuma, ka bāzes plūsma nedaudz mainās atkarībā no garenvirziena koordinātas.
- Izpētīta lineārā un vāji nelineārā stabilitāte gadījumā, kad berzes koeficients atkarīgs no garenvirziena koordinātas.
- Iegūtas formulas Ginzburga–Landau vienādojuma koeficientu aprēķināšanai nedaudz izliektu seklā ūdens plūsmu sajaukšanās slāņiem, nedaudz izliektu divu komponenšu seklā ūdens plūsmu sajaukšanās slāņiem, seklā ūdens plūsmu sajaukšanās slāņiem ar nehomogēnu berzi.
- Tiek iegūts amplitūdas vienādojums, kas apraksta amplitūdas perturbācijas attīstību atkarībā no garenvirziena koordinātas.

## Pielietojumi

Seklo plūsmu stabilitātes raksturlielumi un nestabilitātes attīstība ir svarīga kompleksa problēma tādās jomās kā upju plūsmas analīze satecēs, kombinētu un saliktu kanālu projektēšana, plūdu seku analīze. Plūsmu liekumu arī jāņem vērā. Dažos gadījumos plūsmas var saturēt smagas daļīnas, kas pārvietojas kopā ar šķidrumu. Lineārā un vāji nelineārā analīze divu komponenšu sekliem sajaukšanās slāniem ar lielu Stoksa skaitļu pieņēmumu, kas veikta promocijas darbā, skaidro sīko daļiņu ietekmi uz plūsmu stabilitātes īpašībām.

Seklā ūdens vienādojumi ir nelineāri. Tā kā problēmu raksturojošo parametru skaits ir liels, seklo ūdens plūsmu skaitliskā modelēšana prasa ievērojamus skaitlošanas resursus. Amplitūdas vienādojumi izrādījās noderīgi siltuma konvekcijas un Teilora–Kuettas plūsmas aprakstīšanai. Šos vienādojumus varētu izmantot, aprakstot attiecīgo plūsmu dinamiku nestabilitātes sākumposmā. Amplitūdas evolūcijas vienādojums kompleksā Ginzburga–Landau vienādojuma formā tiek iegūts promocijas darbā no kustības vienādojumiem vāji nelineāra režīma vienas vai divu komponenšu nedaudz izliektiem seklās plūsmas sajaukšanās slāniem, kur berzes koeficients ir konstants vai ir mainīgs šķērsvirzienā. Ginzburga–Landau vienādojums dod daudz dažādu atrisinājumu (atkarībā no koeficientu vērtības), tāpēc tas daudzos gadījumos tiek izmantots kā fenomenoloģisks vienādojums komplekso plūsmu dinamikas analīzei.

Sarežģītu parādību modelēšanai šķidruma mehānikā vienādojuma koeficienti parasti tiek ņemti no eksperimentālajiem datiem. Promocijas darbā parādīts, ka Ginzburga–Landau vienādojuma koeficientus var aprēķināt, izmantojot plūsmu lineārās stabilitātes raksturlielumus. Tādējādi, mainot problēmas parametrus un atkārtoti aprēķinot Ginzburga–Landau vienādojuma koeficientus, to var izmantot vāji nelineāra režīma plūsmas dinamikas analīzei laikā un telpā.

## Publikāciju saraksts

1. Eglite, I., Kolyshkin, A., and Ghidaoui, M. Weakly nonlinear analysis of shallow mixing layers with variable friction. In: *Materials of the 11th World Congress on Computational mechanics, 6th European Conference on Computational Fluid Dynamics*, Spain, Barcelona, 20–25 July 2014. Barcelona: CIMNE, 2014, pp. 1–2. ISBN 978-84-942844-7-2.
2. Eglite, I., and Kolyshkin, A. On the stability of shallow mixing layers with non-uniform friction. In: *The 10<sup>th</sup> Latvian Mathematical Conference. The 2<sup>nd</sup> Intern. Conference on High Performance Computing and Mathematical Modelling. Book of Abstracts*, Liepaja, Latvia, 11–12 April 2014. Liepaja: Liepaja University, 2014, pp. 33–33. ISBN 978-9934-522-23-9.
3. Eglite, I., and Kolyshkin, A. Spatial stability analysis of shallow mixing layers with variable friction coefficient. In: *Proceedings of the IASTED International Conference on Modelling, Identification, and Control, MIC 2014*, Austria,

- Innsbruck, 17–19 February 2014. Austria: ACTA Press, pp. 161–165. ISBN 978-0-88986-966-0 (SCOPUS).
4. Eglite, I., and Kolyshkin, A. Spatial and temporal instability of slightly-curved particle-laden shallow mixing layers. In: *Proceedings of the V Intern. Conf. on Computational Methods for Coupled Problems in Science and Engineering*, Spain, Ibiza, 17–19 June 2013. Barcelona: CIMNE, 2013, pp. 1249–1256. ISBN 978-84-941407-6-1 (WEB of SCIENCE).
  5. Eglite, I., and Kolyshkin, A. Linear instability of shallow mixing layers with non-constant friction coefficient. In: *Intern. Conference on Applied Mathematics and Scientific Computing: Book of Abstracts*, Croatia, Šibenik, 10–14 June 2013. Zagreb: University of Zagreb, 2013, pp. 25–26.
  6. Eglite, I., and Kolyshkin, A. Spatial stability analysis of curved shallow mixing layers. In: *Mathematical Models and Methods in Modern Science: 15th International Conference on Mathematical Methods, Computational Techniques and Intelligent Systems*, Cyprus, Limassol, 21–23 March 2013. Athens: WSEAS Press, 2013, pp. 104–108. ISBN 978-1-61804-168-5.
  7. Eglite, I., and Kolyshkin, A. Spatial instability of curved shallow mixing layers. In: *17th International Conference on Mathematical Modelling and Analysis. Abstracts*, Estonia, Tallinn, 6–9 June 2012. Tallinn: Tallinn University of Technology, 2012, pp. 71–71.
  8. Eglite, I., and Kolyshkin, A. Weakly nonlinear methods for stability analysis of slightly curved two-phase shallow mixing layers. In: *International Conference on Applied Mathematics and Sustainable Development: Special Track within SCET2012*, China, Xi'an, 27–30 May 2012, Xi'an: Scientific Research Publishing, 2012, pp. 271–274. ISBN 978-1-61896-023-8.
  9. Eglite, I., and Kolyshkin, A. Ginzburg-Landau model for curved two-phase shallow mixing layers. *Proc. of World Academy of Science, Engineering and Technology*, 2012, Iss. 64, pp. 146–150. ISSN 2010-376X.
  10. Eglite, I., and Kolyshkin, A. Amplitude evolution equation for stability analysis of two-phase shallow flows. In: *9th Latvian mathematical conference. Abstracts*, Latvia, Jelgava, 30–31 March 2012, Riga: Latvian Mathematical Society, 2012, pp. 27–27. ISBN 978-9984-45-480-1.
  11. Eglite, I., and Kolyshkin, A. Ginzburg-Landau model for stability analysis of fluid flows. *Sc. J. of Riga Technical University. Boundary Field Problems and Computer Simulation*, 2011, vol. 50, pp. 97–100. ISSN 1407-7493.
  12. Eglite, I., and Kolyshkin, A. Linear and weakly nonlinear instability of slightly curved shallow mixing layers. *WSEAS Transactions on Fluid Mechanics*, 2011, Iss. 2, Vol. 6, pp. 123–132. ISSN 1790-5087 (SCOPUS).
  13. Eglite, I., and Kolyshkin, A. The effect of slow variation of base flow profile on the stability of slightly curved mixing layers. *Proceedings of World Academy of Science, Engineering and Technology*, 2011, iss. 76, pp. 624–627. ISSN 2010-3778 (SCOPUS).
  14. Eglite, I. Asymptotic analysis of stability of slightly curved two-phase shallow mixing layers. In: *2nd International Conference on Fluid Mechanics and Heat*

- & Mass Transfer: Recent Researches in Mechanics*, Greece, Corfu, 14–16 July 2011. Athens: WSEAS Press, pp. 98–101. ISBN 978-1-61804-020-6 (SCOPUS).
15. Eglite, I., and Kolyshkin, A. The effect of flow curvature on linear and weakly nonlinear instability of shallow mixing layers. In: *16th International Conference on Mathematical Modelling and Analysis. Abstracts*, Latvia, Sigulda, 25–28 May 2011. Riga: University of Latvia, 2011, pp. 40–40. ISBN 978-9984-45-351-4.
  16. Eglite, I., and Kolyshkin, A. Linear instability of curved shallow mixing layers. In: *Recent Researches in Hydrology, Geology and Continuum Mechanics*, United Kingdom, Cambridge, 23–25 February 2011. WSEAS Press, 2011, pp. 38–41. ISBN 978-960-474-275-2 (SCOPUS).
  17. Kolyshkin, A., and Eglite, I. Spatial instability of asymmetric base flow profiles in shallow water. In: *15th International Conference Mathematical Modelling and Analysis: Abstracts*. Lithuania, Druskininkai, 26–29 May 2010. Vilnius: Technika, 2010, pp. 48–48. ISBN 978-9955-28-595-3.
  18. Eglite, I., and Kolyshkin, A. The effect of asymmetry of base flow profile on the linear stability of shallow mixing layers. In: *Non-Linear Systems and Wavelet Analysis: Proceedings of the 10th WSEAS International Conference on Wavelet Analysis and Multirate Systems (WAMUS'10)*, Tunisia, Kantaoui, Sousse, 3–6 May 2010. WSEAS Press, 2010, pp. 109–112. ISBN 978-960-474-189-2 (SCOPUS).
  19. Eglite, I., and Kolyshkin, A. Stability of shallow water flow for the case of asymmetric base velocity profile. In: *8th Latvian Mathematical Conference: Abstracts*, Latvia, Valmiera, 9–10 April 2010. Latvia: LMB, 2010, pp. 28–28. ISBN 978-9984-45-173-2.

## Prezentācijas starptautiskās konferencēs

1. Weakly nonlinear analysis of shallow mixing layers with variable friction. *11th World Congress on Computational mechanics, 6th European Conference on Computational Fluid Dynamics*, Spain, Barcelona, 20–25 July 2014.
2. On the stability of shallow mixing layers with non-uniform friction. *The 10<sup>th</sup> Latvian Mathematical Conference. The 2<sup>nd</sup> International Conference on High Performance Computing and Mathematical Modelling*, Liepaja, Latvia, 11–12 April 2014.
3. Spatial stability analysis of shallow mixing layers with variable friction coefficient. *IASTED Intern. Conference on Modelling, Identification, and Control, MIC 2014*, Austria, Innsbruck, 17–19 February 2014.
4. Spatial and temporal instability of slightly-curved particle-laden shallow mixing layers. *V Intern. Conference on Computational Methods for Coupled Problems in Science and Eng.*, Spain, Ibiza, 17–19 June 2013.

5. Linear instability of shallow mixing layers with non-constant friction coefficient. *International Conference on Applied Mathematics and Scientific Computing*, Croatia, Šibenik, 10–14 June 2013.
6. Spatial stability analysis of curved shallow mixing layers. *15th International Conference on Mathematical Methods, Computational Techniques and Intelligent Systems*, Cyprus, Limassol, 21–23 March 2013.
7. Spatial instability of curved shallow mixing layers. *17th Intern. Conf. on Mathematical Modelling and Analysis*, Estonia, Tallinn, 6–9 June 2012.
8. Weakly nonlinear methods for stability analysis of slightly curved two-phase shallow mixing layers. *International Conference on Applied Mathematics and Sustainable Development: Special Track within SCET2012*, China, Xi'an, 27–30 May 2012.
9. Ginzburg-Landau model for curved two-phase shallow mixing layers. *ICCAM 2012: International Conference on Computational and Applied Mathematics*, Italy, Venice, 11–13 April 2012.
10. Asymptotic analysis of stability of slightly curved two-phase shallow mixing layers. *International Conference on Fluid Mechanics and Heat & Mass Transfer*, Greece, Corfu, 14–16 July 2011.
11. The effect of flow curvature on linear and weakly nonlinear instability of shallow mixing layers. *16th International Conference on Mathematical Modelling and Analysis*, Latvia, Sigulda, 25–28 May 2011.
12. The effect of slow variation of base flow profile on the stability of slightly curved mixing layers. *WASET International Conference*. Italy, Venice 27-29 April 2011.
13. Linear instability of curved shallow mixing layers. *The 6th IASME / WSEAS International Conference on Continuum Mechanics (CM'11)*, United Kingdom, Cambridge, 23–25 February 2011.
14. Spatial instability of asymmetric base flow profiles in shallow water. *15th International Conference Mathematical Modelling and Analysis*, Lithuania, Druskininkai, 26–29 May 2010.
15. The effect of asymmetry of base flow profile on the linear stability of shallow mixing layers. *10th WSEAS Intern. Conf. on Wavelet Analysis and Multirate Systems*, Tunisia, Kantaoui, Sousse, 3–6 May 2010.

## **Prezentācijas vietējās konferencēs**

1. Amplitūdas evolūcijas vienādojums stabilitātes analīzei divu fāžu sekla ūdens plūsmām. *9. Latvijas matemātikas konference*. Latvija, Jelgava, 30.-31. marts, 2012.
2. Sekla ūdens plūsmas stabilitāte gadījumā, ja bāzes plūsmas profils nav simetrisks. *8. Latvijas matemātikas konference*. Latvija, Valmiera, 9.–10. aprīlis, 2010.

# 1. Problēmas matemātiskais formulējums

## 1.1. Literatūras apskats

Lai analizētu šķidruma plūsmas uzvedību, plaši izmanto lineārās stabilitātes teoriju ([9], [11], [49] un [55]). Daudzos tehnoloģiju lietojumos hidromehānikā plūsmas šķērsvirziena garuma mērogs ir daudz lielāks nekā ūdens dzīlums. Šādas plūsmas parasti dēvē par seklā ūdens plūsmām. Nedaudz izliektu seklā ūdens plūsmu sajaukšanās dinamika izraisa īpašu interesi (plūsmas kombinētos un saliktos kanālos, plūsmas upju satecēs). Seklā ūdens plūsmu sajaukšanās slāņu analīzes metodes ietver eksperimentālu izpēti, skaitlisko modelēšanu un stabilitātes analīzi [39]. Eksperimentālā izpēte seklā ūdens plūsmu sajaukšanās slāņiem ir daudz aprakstīta, piemēram, [6], [59] un [60]. Šajos pētījumos parādīts, ka gultnes berzei ir svarīga loma perturbāciju samazināšanā.

Seklā ūdens plūsmu sajaukšanās slāņu lineārā stabilitāte tiek aprakstīta [5], [7], [32], [41], [43] un [52]. Lai noteiktu stabilitātes kritiskās vērtības, gultnes berzes koeficientam tiek izmantots „cietā vāka” pieņēmums [7] (ūdens dzīlums ir pieņemts par konstantu). Seklā ūdens plūsmu stabilitātes analīzei „cietā vāka” pieņēmums tiek analizēts [32], kur ir parādīts, ka maziem Frūde skaitļiem klūda, izmantojot „cietā vāka” pieņēmumu, ir diezgan maza. Frūde skaitļa ietekme uz stabilitāti seklā ūdens sajaukšanās slāņos kombinētos un saliktos kanālos tiek pētīta [41]. Teorētiskie rezultāti un skaitliskie aprēķini sniegti [5], [7], [32], [41], [43] un [52]. Tie apliecinā eksperimentālos apsvērumus, ka gultnes berze stabilizē plūsmu un samazina perturbāciju izaugsmi sajaukšanās slāņos.

Centrifugālā nestabilitāte var notikt arī seklā ūdens sajaukšanās slāņos. Neliela izliekuma ietekme uz plūsmas stabilitati brīvās sajaukšanās slānos tiek pētīta [34], [38] un [50]. Darbā [50] parādīts, ka izliekumam ir stabilizējoša ietekme uz stabili izliektu sajaukšanās slāni un destabilizējoša ietekme uz nestabili izliektu sajaukšanās slāni.

Lineāro stabilitātes analīzi var lietot, lai noteiktu, kad konkrēta plūsma klūst nestabila. Parametru kritiskās vērtības (piemēram, stabilitātes parametru, vilņu skaitu utt.) arī var aprēķināt, izmantojot lineārās stabilitātes teoriju. Taču nestabilitātes attīstību stabilitātes liknes virsotnes apkārtnē nevar analizēt ar lineāro teoriju. Vāji nelineārā teorija [35], [57] tiek izmantota amplitūdas evolūcijas vienādojumu sastādīšanai visnestabilākajā režīmā. Šīs teorijas pamatā ir vairāku mērogu metode [40], tā ir piemērojama, ja plūsma ir nestabila, bet parametru vērtības (piemēram, Reinoldsa skaitlis vai seklā ūdens plūsmu stabilitātes parametrs) ir tuvu kritiskajām vērtībām. Šajā gadījumā pieauguma temps nestabilai perturbācijai ir mazs un ir iespējamība nestabilitātes attīstību analizēt ar relatīvi vienkāršiem evolūcijas vienādojumiem. Šāda pieeja ir izmantota [57] Puazeiļa plūsmai plaknē, [2] un [46], lai analizētu nestabilitāti vēja radītiem vilņiem, seklā ūdens plūsmās aiz šķēršļiem [29], [32], [42], [43] un [51]. Faktiski amplitūdas vienādojumus literatūrā apraksta divos veidos. Pirmajā veidā apriori tiek izvēlēta konkrēta evolūcijas vienādojuma forma un vienādojuma koeficienti tiek nemti no eksperimentālajiem

datiem. Tad vienādojumus ar šiem koeficientiem izmanto modelēšanai. Otrajā veidā evolūcijas vienādojumu faktiski var iegūt no kustības vienādojumiem. Šī pieeja ir izmantota [2], [29], [43], [44], [47], [53], [56] un [57], kur ir pierādīts, ka divdimensiju gadījumos evolūcijas vienādojums ir komplekss Ginzburga–Landau vienādojums. Vienādojuma koeficienti iegūti integrāļu formā, kas satur parametru kritiskās vērtības no lineārās stabilitātes problēmu risinājuma.

Ginzburga–Landau vienādojums un tā īpašības ir plaši pētītas literatūrā ([1], [10]). Ginzburga–Landau vienādojuma skaitliskā analīze ir vienkāršāka nekā skaitliskā kustības vienādojumu risināšana. Turklat Ginzburga–Landau vienādojumu stabilitātes analīze dažiem vienkāršiem (piemēram, periodiskiem) risinājumiem ļauj pētniekim vienkāršot plūsmu dinamikas analīzi laikā un telpā.

Lineārā nestabilitāte seklā ūdens sajaukšanās slāniem tiek analizēta [4], [7], [32] un [41], pamatojoties uz pieņēmumu, ka gultnes berze tiek modelēta, izmantojot Čeizi formulu [48]. Tieki pieņemts, ka berzes koeficients ir nemainīgs. Parasti berzes koeficients ir iegūts no daļēji empīriskas formulas [54], kas saista berzes koeficienta vērtību ar Reinolda skaitli un plūsmas virsmas raupjumu. Šādā gadījumā tiek pieņemts, ka berzes koeficients ir konstants visā plūsmas apgabalā.

Atsevišķos lietojumos berze ievērojami mainās šķērsvirzienā. Viens konkrēts piemērs ir saistīts ar daļēju veģetāciju nosacījumu seklā ūdens plūsmām. Šāda situācija bieži sastopama plūdu laikā [61]. Berzes spēks veģetāciju zonā ir lielāks nekā galvenajā kanālā. Šajā gadījumā bāzes plūsmas profils kļūst asimetrisks [61]. Berzes spēku izmaiņa starp daļēju veģetācijas zonu un galveno kanālu tiek veidota [61] ar pakāpienveida funkciju. Lineārās stabilitātes analīze tiek veikta [61] saskaņā ar pieņēmumu, ka bāzes plūsmas profils ir simetrisks.

## 1.2. Seklā ūdens vienādojumi

Seklā ūdens vienādojumi ir viduvētie vienādojumi, kas iegūti, integrējot šķidruma mehānikas vienādojumus attiecībā pret vertikālo koordinātu. Tā kā integrēšana notiek pēc ūdens dziļuma, ir nepieciešams precīzēt brīvās virsmas un gultnes spriegumus. Brīvās virsmas spriegumi pārsvarā ir daudz mazāki nekā gultnē, tāpēc parasti seklā ūdens vienādojumos tiek ķemti vērā tikai gultnes spriegumi. Gultnes berzes aprēķinos praksē tiek izmantotas empīriskās formulas (piemēram, Čeizi vai Meininga formula). Detalizēts izvedums seklā ūdens vienādojumiem ir dots [4].

Seklā ūdens vienādojumi ar „cietā vāka” pieņēmumu un nelielu izliekumu ir šādā formā:

$$\frac{\partial u}{\partial x} + \frac{\partial v}{\partial y} = 0, \quad (1.1)$$

$$\frac{\partial u}{\partial t} + u \frac{\partial u}{\partial x} + v \frac{\partial u}{\partial y} + \frac{\partial p}{\partial x} + \frac{c_f}{2h} u \sqrt{u^2 + v^2} - B(u^p - u) = 0, \quad (1.2)$$

$$\frac{\partial v}{\partial t} + u \frac{\partial v}{\partial x} + v \frac{\partial v}{\partial y} - \frac{1}{R} u^2 + \frac{\partial p}{\partial y} + \frac{c_f}{2h} v \sqrt{u^2 + v^2} - B(v^p - v) = 0, \quad (1.3)$$

kur  $x, y$  – ģeometriskās koordinātas;  
 $t$  – laiks;  
 $u$  un  $v$  – šķidruma viduvētā ātruma komponentes  $x$  un  $y$  virzienā;  
 $p$  – spiediens;  
 $h$  – ūdens dziļums;  
 $c_f$  – berzes koeficients (var būt funkcija no  $y$ );  
 $B$  – daļīju iekraušanas koeficients ([62], [63]);  
 $u^p$  un  $v^p$  – daļīju ātruma komponentes  $x$  un  $y$  virzienā;  
 $\frac{1}{R} = \frac{\delta_*}{R_*} \ll 1$  mazs parametrs;  
 $R_*$  – liektā sajaukšanās slāņa centra līnijas liekuma rādiuss;  
 $\delta_*$  – sajaukšanās slāņa biezums.

Vienādojumā (1.2) un (1.3) tiek pieņemts, ka plūsma var saturēt smagas daļījas. To eksistences efekts tiek ķemts vērā kopā ar daļīju skaitu uz plūsmas tilpumu vienību  $B$  ([62], [63]). Vienādojumi (1.1)–(1.3) ir iegūti, ķemot vērā, ka plūsma aplūkota pie lieliem Stoksa skaitīem, kas nozīmē, ka nav dinamiskas mijiedarbības starp šķidrumu un daļījām.

Vienādojumos (1.1)–(1.3) ir izmantots „cietā vāka” pieņēmums. Gultnes berze ir iekļauta (1.2) un (1.3), izmantojot Čeizi formulu [4].

Berzes koeficients dažos lietojumos mainās šķērsvirzienā. Piemēram, plūdu laikā, kur seklais ūdens tek cauri apgabalam ar daļēju veģetāciju [61], vai plūsmas kombinētos un saliktos kanālos [41]. Berzes koeficiente izmaiņas šķērsvirzienā aprakstītas ar gludu diferencējamas formas funkciju  $c_f(y)$ .

## 2. Stabilitāte nedaudz izliektas sekłā ūdens plūsmas sajaukšanās slāniem

### 2.1. Lineārā stabilitāte

Apskatīsim sekłā ūdens vienādojumus ar „cietā vāka” pieņēmumu un nelielu izliekumu formā (1.1)–(1.3), kur  $B = 0$  ([14], [15], [16], [25]).

No šiem vienādojumiem izslēdzam spiedienu  $p$  un definējam plūsmas funkciju  $\psi(x, y, t)$  ar formulām

$$u = \frac{\partial \psi}{\partial y} = \psi_y, \quad v = -\frac{\partial \psi}{\partial x} = -\psi_x, \quad (2.1)$$

un, apzīmējot  $\Delta\psi = \psi_{xx} + \psi_{yy}$ , sistēma (1.1)–(1.3) tiek pārveidota vienā vienādojumā:

$$\begin{aligned} & (\Delta\psi)_t + \psi_y(\Delta\psi)_x - \psi_x(\Delta\psi)_y + \frac{2}{R}\psi_y\psi_{xy} + \frac{c_f}{2h}\Delta\psi\sqrt{\psi_x^2 + \psi_y^2} + \\ & + \frac{c_f}{2h\sqrt{\psi_x^2 + \psi_y^2}}(\psi_y^2\psi_{yy} + 2\psi_x\psi_y\psi_{xy} + \psi_x^2\psi_{xx}) = 0, \end{aligned} \quad (2.2)$$

kur indeksi norāda atvasinājumus pēc mainīgā  $x, y$  un  $t$ .

Šeit tiek izmantots paralēlās plūsmas pieņēmums. Tas paredz, ka bāzes plūsma garenvirzienā nemainās. Kā jau tas norādīts [47], šī aproksimācija ir vairāku mērogu metodes paplašināšana augstākas kārtas risinājumam, kurā nēm vērā lēno plūsmas diverģenci.

Aplūkosim plūsmas funkciju  $\psi(x, y, t)$  formā

$$\psi = \psi_0 + \psi' , \quad (2.3)$$

kur apostrofa zīme apzīmē mazas perturbācijas.

Ievietojot (2.3) vienādojumā (2.2) un linearizējot rezultātu (tā kā perturbācija ir maza, tās kvadrātiskos loceklus var ignorēt), iegūstam:

$$\begin{aligned} & \psi_{xxt} + \psi_{yyt} + \psi_{0y}(\psi_{xxx} + \psi_{xyy}) - \psi_{0yyy}\psi_x \\ & + \frac{c_f}{2h}(\psi_{0y}\psi_{xx} + 2\psi_{0yy}\psi_y + 2\psi_{0y}\psi_{yy}) + \frac{2}{R}\psi_{0y}\psi_{xy} = 0 . \end{aligned} \quad (2.4)$$

Izmantojot normālo modu metodi [11], perturbācija tiek meklēta formā:

$$\psi(x, y, t) = \phi(y)e^{ik(x-ct)} , \quad (2.5)$$

kur  $\phi(y)$  – normālās perturbācijas amplitūda;

$k$  – vilņa skaitlis;

$c$  – perturbācijas fāzes ātrums.

Ievietojot (2.5) un  $\psi$  atvasinājumus pēc  $x, y$  vai  $t$  (2.4) un apzīmējot  $U = \psi_{0y}$  (bāzes plūsma), iegūstam:

$$\begin{aligned} & \phi''(ik(U - c) + SU) + \phi'\left(\frac{2}{R}ikU + SU_y\right) \\ & + \phi\left(ik^3c - ik^3U - ikU_{yy} - \frac{k^2SU}{2}\right) = 0 \end{aligned} , \quad (2.6)$$

kur  $S = \frac{c_f \delta_*}{h}$  – bezdimensijas stabilitātes parametrs;

$\delta_*$  – sajaukšanās slāņa platums.

Robežnosacījumi ir

$$\varphi(\pm\infty) = 0. \quad (2.7)$$

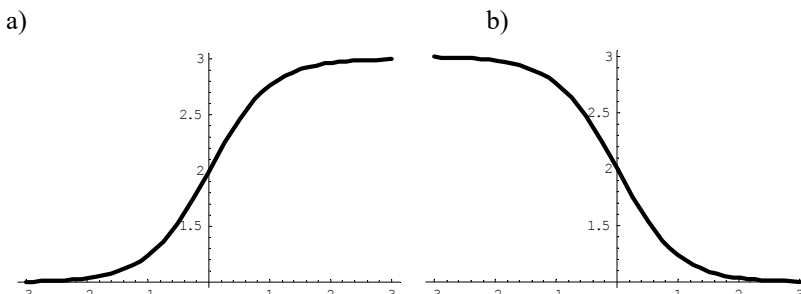
Izmantojot lineārās stabilitātes teoriju, var noteikt nosacījumus, pie kuriem plūsma zaudē stabilitāti. Bāzes plūsmas lineāro stabilitāti nosaka īpašvērtības  $c = c_r + i c_i$ . Bāzes plūsma tiek uzskatīta par lineāri stabilu, ja visi  $c_i < 0$ , un nestabilu, ja vismaz viens  $c_i > 0$ . Skaitliskais atrisinājums atbilstošajā īpašvērtību uzdevumā (2.6)–(2.7) ļauj iegūt parametru kritiskās vērtības. Tomēr lineāro teoriju nevar izmantot, lai prognozētu perturbācijas attīstību. Nestabilitātes apgabalā perturbācija aug eksponenciāli laikā (2.5). Ja pieaugums ir liels, tad nelineārais efekts ātri kļūst dominējošs un ir maz cerību analizēt nestabilitātes attīstību analītiski. Gadījumā, ja pieauguma ātrums ir salīdzinoši neliels, tad vāji nelineāro analīzi var izmantot, lai sastādītu vienādojumu perturbācijas amplitūdas attīstībai (amplitūdas evolūcijas vienādojums) stabilitātes līknes virsotnes apkārtnē.

Bāzes plūsmu seklā ūdens vienādojumu gadījumā parasti izvēlas kā relatīvi vienkārša modeļa ātruma profils, balstoties uz pieejamiem eksperimentālajiem datiem. Piemēram, hiperboliskā tangensa profils sekliem sajaukšanās slāniem vai hiperboliskā sekansa profils seklām plūsmām aiz šķēršļiem. Izmantosim šādus profilius (2.1. att.):

$$U(y) = 2 + \tanh y \quad (2.8)$$

un

$$U(y) = 2 - \tanh y. \quad (2.9)$$



2.1. att. Bāzes plūsmu profili: a)  $U(y) = 2 + \tanh y$  un b)  $U(y) = 2 - \tanh y$ .

Ātruma profils (2.8) atbilst sajaukšanās slānim, kad lielākā ātruma plūsma ir ārpusē mazākā ātruma plūsmai. Profilam (2.9) ir pretēja situācija (ātrgaitas plūsma ir iekšpusē zemākā ātruma plūsmai). Kā ir parādīts [52], eksperimentāli novērotam bāzes plūsmas ātruma profilam ir līdzīgas formas.

## 2.2. Skaitliskā metode lineārai stabilitātei

Īpašvērtību uzdevumi (2.6)–(2.7) tiek risināti skaitliski, izmantojot pseidospektrālo kolokācijas metodi [3], kas balstās uz Čebiševa polinomiem. Izmantojot substitūciju  $r = \frac{2}{\pi} \arctan y$ , intervāls  $-\infty < y < +\infty$  tiek pārveidots intervālā  $(-1, 1)$ . Vienādojuma (2.6) atrisinājums tiek meklēts formā:

$$\varphi(r) = \sum_{j=0}^{N-1} a_j (1-r^2) T_j(r), \quad (2.10)$$

kur  $T_j(r) = \cos j \arccos r$  ir  $j$ -tās kārtas pirmā veida Čebiševa polinoms,  
 $a_j$  ir nezināmie koeficienti.

Reizinātājs  $(1-r^2)$  garantē, ka robežnosacījumi (2.7) ar jauno mainīgo  $r$  pie  $r = \pm 1$  ir izpildīti automātiski, un tas ievērojami samazina matricas nosacītības skaitli [37].

Robežuzdevuma (2.6), (2.7) aprēķināšanai izmantosim šādu kolokācijas punktu kopu:

$$r_m = \cos \frac{\pi m}{N+1}, \quad m = 1, 2, \dots, N. \quad (2.11)$$

Ievietojot funkciju  $\varphi(r)$  un to atvasinājumus kolokācijas punktos vienādojumā (2.6), iegūstam lineāru vienādojumu sistēmu formā:

$$(B - cD)a = 0, \quad (2.12)$$

kur  $B$  un  $D$  ir kompleksa skaitļu  $N \times N$  matricas, matrica  $D$  nav singulāra,  $a = (a_0 \ a_1 \dots \ a_{N-1})^T$ .

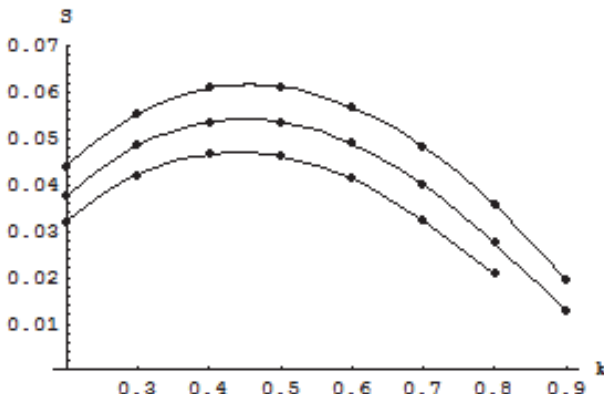
2.1. tabula

Parametru vērtības sekлā ūdens plūsmu sajaukšanās slāniem bāzes plūsmas ātruma profilam (2.8)

$k$	$S(1/R=0)$	$S(1/R=0,01)$	$S(1/R=0,02)$	$S(1/R=0,03)$	$S(1/R=0,04)$
0.1	0.0260	0.0230	0.0205	0.0194	0.0258
0.2	0.0441	0.0408	0.0377	0.0348	0.0321
0.3	0.0554	0.0519	0.0485	0.0452	0.0421
0.4	0.0609	0.0572	0.0536	0.0501	0.0466
0.5	0.0612	0.0574	0.0536	0.0499	0.0462
0.6	0.0568	0.0529	0.0490	0.0451	0.0412
0.7	0.0482	0.0442	0.0402	0.0361	0.0322
0.8	0.0357	0.0316	0.0275	0.0234	0.0224
0.9	0.0196	0.0154	0.0150	0.0142	0.0138

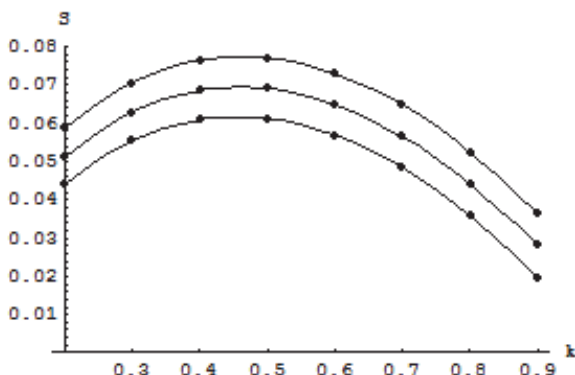
Uzdevums (2.12) ir atrisināts skaitliski, izmantojot *IMSL (International Mathematics and Statistics Library)* programmu *DGVCCG*, kas aprēķina visas īpašvērtības un īpašvektorus vispārinātai kompleksai īpašvērtību sistēmai  $Az = \lambda Bz$ . Skaitlisko aprēķinu rezultāti bāzes plūsmas ātruma profilam (2.8) ir parādīti 2.1. tabulā.

2.2. attēlā parādītas trīs marginālās stabilitātes līknes attiecīgi (no augšas uz leju) trijām parametra vērtībām:  $1/R = 0; 0,02; 0,04$ . Nestabilitātes apgabals ir zem līknes [15].



2.2. att. Marginālās stabilitātes līknes bāzes plūsmas  
ātruma profilam (2.8).

Marginālās stabilitātes līknes bāzes plūsmas profilam (2.9) tiek parādītas 2.3. attēlā. Parametru vērtības attiecīgi (no augšas uz leju) ir  $1/R = 0,04; 0,02$  un  $0$ .



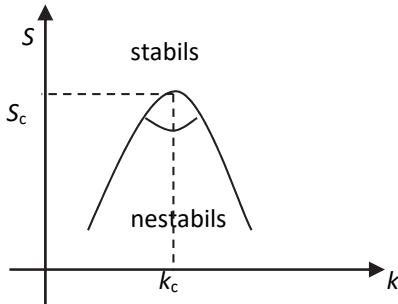
2.3. att. Marginālās stabilitātes līknes bāzes plūsmas  
ātruma profilam (2.9).

Skaitlisko aprēķinu rezultāti liecina, ka izliekums stabilizē plūsmu stabili izliektu sajaukšanās slāņu gadījumā, savukārt nestabili izliektu sajaukšanās slāņu izliekums dod destabilizējošu ietekmi uz plūsmu [16].

## 2.3. Vāji nelineārās metodes

Vāji nelineārā analīze tiek veikta stabilitātes līknes virsotnes apkārtnē (2.4. att.). Atbilstošie vienādojumi iepriekš iegūti dažādu plūsmu gadījumā, kā, piemēram, Puazeiļa plūsmas, seklā ūdens plūsmas ([2], [29], [33], [43], [44], [46], [57]).

Pieņemsim, ka  $S_c$ ,  $k_c$  un  $c_c$  ir attiecīgi stabilitātes parametra, viļņu skaitla un viļņu ātruma kritiskās vērtības. Tad visnestabilāko režīmu (saskaņā ar lineāro teoriju) var noteikt no (2.5) pie  $S = S_c$ ,  $k = k_c$  un  $c = c_c$ , kur īpašfunkciju  $\varphi(y)$  var aizstāt ar  $C\varphi(y)$ . Konstanti  $C$  nevar noteikt no lineārās stabilitātes teorijas.



2.4. att. Tipiska marginālās stabilitātes līkne seklā ūdens plūsmai.

Pieņemsim  $(k, S)$  plaknē tādu parametru  $S$ , kurš ir nedaudz mazāks par kritisko vērtību:

$$S = S_c(1 - \varepsilon^2). \quad (2.13)$$

Parametrs  $\varepsilon$  raksturo, cik tuvu kritiskai vērtībai  $S_c$  atrodas parametrs  $S$ . Turklāt (2.13) nozīmē, ka bāzes plūsma ir nestabila, ja stabilitātes parametrs ir vienāds ar  $S$ . Tomēr, tā kā  $\varepsilon$  ir mazs, pieauguma temps visnestabilākajām perturbācijām arī ir mazs. Līdz ar to var mēģināt raksturot nestabilitātes attīstību analītiski ar vāji nelineāro teoriju.

Ieviešam šādus "lēnos" mainīgos [57]:

$$\tau = \varepsilon^2 t, \xi = \varepsilon(x - c_g t), \quad (2.14)$$

kur  $c_g$  ir grupas ātrums.

Konstante  $C$  tiek aizstāta ar perturbācijas amplitūdas funkciju  $A$ , kura ir vāji atkarīga no koordinātās un laika. Tāpēc  $A = A(\xi, \tau)$  un funkcija  $\psi$  no (2.5) ir:

$$\begin{aligned}\psi_1(x, \xi, y, t, \tau) &= A(\xi, \tau)\varphi(y)e^{ik(x-ct)} + A^*(\xi, \tau)\varphi^*(y)e^{-ik(x-ct)} \\ &= A(\xi, \tau)\varphi(y)e^{ik(x-ct)} + c.c. ,\end{aligned}\quad (2.15)$$

kur  $*$  un saīsinājums c.c. nozīmē kompleksi saistītais.

Vienādojuma (2.4) atrisinājums  $\psi$  tiek meklēts formā:

$$\psi = \psi_0(y) + \varepsilon\psi_1 + \varepsilon^2\psi_2 + \varepsilon^3\psi_3 + \dots, . \quad (2.16)$$

Ievietojot (2.13)–(2.16) vienādojumā (2.4) un sagrupējot locekļus, kas satur  $\varepsilon$ ,  $\varepsilon^2$ ,  $\varepsilon^3$ , iegūsim trīs vienādojumus. Apzīmēsim:

$$\begin{aligned}L\varphi &\equiv \varphi_{xxt} + \varphi_{yyt} + \varphi_{0y}\varphi_{xxx} + \varphi_{0y}\varphi_{yyx} - \varphi_{0yyy}\varphi_x \\ &+ \frac{2}{R}\varphi_{0y}\varphi_{1xy} + \frac{c_f}{2h}\left(\varphi_{0y}\varphi_{xx} + 2\varphi_{0yy}\varphi_y + 2\varphi_{0y}\varphi_{yy}\right),\end{aligned}\quad (2.17)$$

tad pirmais vienādojums (pie  $\varepsilon$ ) ir veidā:

$$L\psi_1 = 0. \quad (2.18)$$

Izmantojot apzīmējumu  $U = \psi_{0y}$ , no (2.18) iegūsim:

$$\begin{aligned}\psi_{1xxt} + \psi_{1yyt} + U\psi_{1xxx} + U\psi_{1xyy} - U_{yy}\psi_{1x} \\ + \frac{2}{R}U\psi_{1xy} + \frac{c_f}{2h}\left(U\psi_{1xx} + 2U_y\psi_{1y} + 2U\psi_{1yy}\right) = 0.\end{aligned}\quad (2.19)$$

Otrais vienādojums (pie  $\varepsilon^2$ ) ir iegūts formā:

$$L\psi_2 = f_2, \quad (2.20)$$

kur

$$\begin{aligned}f_2 &= c_g(\psi_{1xx\xi} + \psi_{1yy\xi}) - 2\psi_{1x\xi t} - 3U\psi_{1xx\xi} - \psi_{1y}\psi_{1xxx} \\ &- \psi_{1y}\psi_{1yyx} - U\psi_{1\xi yy} + \psi_{1x}\psi_{1xyy} + \psi_{1x}\psi_{1yyy} + U_{yy}\psi_{1\xi} \\ &- \frac{c_f}{2h}\left(\psi_{1xx}\psi_{1y} + 2U\psi_{1x\xi} + 2\psi_{1yy}\psi_{1y} - 2UU_y + 2\psi_{1x}\psi_{1xy}\right) \\ &- \frac{2}{R}\left(U\psi_{1\xi y} + \psi_{1y}\psi_{1xy}\right).\end{aligned}$$

Jāņem vērā, ka operators kreisajā pusē (2.20) ir tāds pats kā (2.18) un tas būs vienāds pie jebkuras  $\varepsilon$  kārtas.

Trešo vienādojumu (pie  $\varepsilon^3$ ) var pārrakstīt šādi:

$$L\psi_3 = f_3, \quad (2.21)$$

kur

$$\begin{aligned} f_3 = & c_g (\psi_{2xx\xi} + \psi_{2yy\xi}) - \psi_{1xx\tau} - 2\psi_{2x\xi t} + 2c_g \psi_{1x\xi\xi} - \psi_{1\xi\xi t} \\ & - \psi_{1yy\tau} - 3U\psi_{2xx\xi} - 3U\psi_{1x\xi\xi} - \psi_{1y}\psi_{2xxx} - 3\psi_{1y}\psi_{1xx\xi} - \psi_{2y}\psi_{1xxx} \\ & - \psi_{2y}\psi_{1yyx} - \psi_{1y}\psi_{2yyx} - \psi_{1y}\psi_{1\xi yy} - U\psi_{2\xi yy} + \psi_{2x}\psi_{1xy} + \psi_{1\xi}\psi_{1xy} \\ & + \psi_{1x}\psi_{2xy} + 2\psi_{1x}\psi_{1xy\xi} + \psi_{1x}\psi_{2yyy} + \psi_{2x}\psi_{1yyy} + \psi_{1\xi}\psi_{1yyy} + \psi_{2\xi}U_{yy} \\ & - \frac{c_f}{2h} \left( \begin{array}{l} \psi_{1xx}\psi_{2y} + \frac{3\psi_{1xx}\psi_{1x}^2}{2U} + \psi_{2xx}\psi_{1y} + 2\psi_{1x\xi}\psi_{1y} + 2U\psi_{2x\xi} \\ + U\psi_{1\xi\xi} + 2\psi_{1yy}\psi_{2y} + 2\psi_{2yy}\psi_{1y} - U\psi_{1xx} - 2U_y\psi_{1y} \\ - 2U\psi_{1yy} + 2\psi_{1x}\psi_{2xy} + 2\psi_{1x}\psi_{1\xi y} + 2\psi_{2x}\psi_{1xy} + 2\psi_{1\xi}\psi_{1xy} \end{array} \right) \\ & - \frac{2}{R} (U\psi_{2\xi y} + \psi_{1y}\psi_{2xy} + \psi_{1y}\psi_{1\xi y} + \psi_{1xy}\psi_{2y}) \end{aligned}$$

Lineārās stabilitātes problēmas (2.6) un (2.7) atrisinājums ir aplūkots 2.2. apakšnodalā.

Tālāk apskatīsim vienādojuma (2.20) risinājumu. Nemot vērā funkcijas  $f_2$  struktūru, visas izteiksmes var sadalīt trīs grupās:

- 1) locekļi, kas nav atkarīgi no laika;
- 2) locekļi, kas ir proporcionāli pirmajai harmonikai  $e^{ik(x-ct)}$  (šeit un tālāk izmantsim apzīmējumus  $k = k_c$  un  $c = c_c$ );
- 3) locekļi, kas ir proporcionāli otrajai harmonikai  $e^{2ik(x-ct)}$ .

Tādējādi funkciju  $\psi_2$  arī jāmeklē formā, kas satur tāda paša trīs veida izteiksmes. Precīzāk, (2.20) atrisinājumu jāmeklē formā:

$$\begin{aligned} \psi_2 = & AA^* \varphi_2^{(0)}(y) + A_\xi \varphi_2^{(1)}(y) e^{ik(x-ct)} + A^2 \varphi_2^{(2)}(y) e^{2ik(x-ct)} \\ & + AA^* \varphi_2^{(0)*}(y) + A^* \xi \varphi_2^{(1)*}(y) e^{-ik(x-ct)} + A^2 \varphi_2^{(2)*}(y) e^{-2ik(x-ct)} \quad (2.22) \\ = & AA^* \varphi_2^{(0)}(y) + A_\xi \varphi_2^{(1)}(y) e^{ik(x-ct)} + A^2 \varphi_2^{(2)}(y) e^{2ik(x-ct)} + c.c., \end{aligned}$$

kur  $\varphi_2^{(0)}(y)$ ,  $\varphi_2^{(1)}(y)$  un  $\varphi_2^{(2)}(y)$  ir nezināmas funkcijas, kas atkarīgas no  $y$ ;

$A^*$  ir kompleksi saistītais no  $A$ ;  
augšējais indekss atspoguļo harmoniskas komponentes grupu;  
apakšējais indekss atspoguļo aproksimācijas kārtu.

Sagrupējot locekļus, kas ir proporcionāli  $AA^*$ , vienādojumā (2.20), iegūstam parasto diferenciālvienādojumu funkcijai  $\varphi_2^{(0)}$ :

$$4S\left(U_y\varphi_{2y}^{(0)} + U\varphi_{2yy}^{(0)}\right) = ik\left(\varphi_{1y}\varphi_{1yy}^* - \varphi_{1y}^*\varphi_{1yy} + \varphi_1\varphi_{1yyy}^* - \varphi_1^*\varphi_{1yyy}\right) - \frac{S}{2}\left(k^2\varphi_1\varphi_{1y}^* + k^2\varphi_1^*\varphi_{1y} + 2\varphi_{1y}\varphi_{1yy}^* + 2\varphi_{1y}^*\varphi_{1yy}\right). \quad (2.23)$$

Funkcija  $\varphi_2^{(0)}(y)$  apmierina šādus robežnosacījumus:

$$\varphi_2^{(0)}(\pm\infty) = 0. \quad (2.24)$$

Analogiski, sagrupējot locekļus, kas ir proporcionāli  $e^{ik(x-ct)}$ , iegūstam parasto diferenciālvienādojumu funkcijai  $\varphi_2^{(1)}$  ar robežnosacījumiem:

$$ik^3c\varphi_2^{(1)} - ikc\varphi_{2yy}^{(1)} - ik^3U\varphi_2^{(1)} + ikU\varphi_{2yy}^{(1)} - ikU_{yy}\varphi_2^{(1)} + ik\frac{2}{R}U\varphi_{2y}^{(1)} - \frac{c_f}{2h}\left(Uk^2\varphi_2^{(1)} - 2U_y\varphi_{2y}^{(1)} - 2U\varphi_{2yy}^{(1)}\right) = (c_g - U)\varphi_{1yy} - \frac{2}{R}U\varphi_{1y} + \left(-c_gk^2 - 2k^2c + 3Uk^2 + U_{yy} - \frac{c_f}{2h}2Ui\right)\varphi_1 \quad (2.25)$$

$$\varphi_2^{(1)}(\pm\infty) = 0. \quad (2.26)$$

Nobeigumā, sagrupējot locekļus, kas ir proporcionāli  $e^{2ik(x-ct)}$ , iegūstam vienādojumu funkcijai  $\varphi_2^{(2)}$ :

$$8ik^3c\varphi_2^{(2)} - 2ikc\varphi_{2yy}^{(2)} - 8ik^3U\varphi_2^{(2)} + 2ikU\varphi_{2yy}^{(2)} - 2ikU_{yy}\varphi_2^{(2)} + \frac{2}{R}2ikU\varphi_{2y}^{(2)} - \frac{c_f}{2h}\left(4k^2U\varphi_2^{(2)} - 2U_y\varphi_{2y}^{(2)} - 2U\varphi_{2yy}^{(2)}\right) = ik\left(\varphi_1\varphi_{1yyy} - \varphi_{1y}\varphi_{1yy}\right) - \frac{c_f}{2h}\left(-3k^2\varphi_1\varphi_{1y} + 2\varphi_{1y}\varphi_{1yy}\right) - \frac{2}{R}ik\varphi_{1y}^2 \quad (2.27)$$

ar robežnosacījumiem

$$\varphi_2^{(2)}(\pm\infty) = 0. \quad (2.28)$$

Salīdzinot (2.6) un (2.25), redzam, ka abu vienādojumu kreisās puses sakrīt, ja  $\varphi_1(y)$  aizvieto ar  $\varphi_2^{(1)}(y)$ . Izmantojot Fredholma alternatīvu [64], secinām, ka vienādojumam (2.25) ir atrisinājums tad un tikai tad, ja vienādojuma labā puse ir ortogonāla visām īpašfunkcijām attiecīgajam saistītajam uzdevumam.

Saistītais operators  $L^a$  un saistītās īpašfunkcijas  $\varphi_1^a$  ir noteiktas šādi:

$$\int_{-\infty}^{+\infty} \varphi_1^a \cdot L \varphi_1 dy = \int_{-\infty}^{+\infty} \varphi_1 \cdot L^a \varphi_1^a dy. \quad (2.29)$$

Vienādojuma (2.29) kreisā puse ir vienāda ar nulli, jo  $L\varphi_1 = 0$ . Tāpēc saistītais uzdevums tiek definēts šādi:

$$L^a \varphi_1^a = 0. \quad (2.30)$$

Integrējot kreiso pusī (2.29) un izmantojot robežnosacījumu (2.7), iegūstam saistīto operatoru:

$$\begin{aligned} L^a \varphi_1^a &\equiv \varphi_{1yy}^a \left( U - c - \frac{iSU}{k} \right) + \varphi_{1y}^a \left( 2U_y - \frac{iSU_y}{k} - \frac{2}{R} U \right) \\ &+ \varphi_1^a \left( k^2 c - k^2 U + \frac{ikSU}{2} - \frac{2}{R} U_y \right) = 0 \end{aligned} \quad (2.31)$$

Robežnosacījumi ir

$$\varphi_1^a(\pm\infty) = 0. \quad (2.32)$$

Izmantojot atrisināmības nosacījumu vienādojumam (2.25), noteiksim grupas ātrumu:

$$c_g = \frac{\eta_1}{\eta}, \quad (2.33)$$

kur

$$\eta = \int_{-\infty}^{+\infty} \varphi_1^a (\varphi_{1yy} - k^2 \varphi_1) dy \quad (2.34)$$

$$\eta_1 = \int_{-\infty}^{+\infty} \varphi_1^a \left( U \varphi_{1yy} + \frac{2}{R} U \varphi_{1y} + (2k^2 c - 3k^2 u_0 - U_{yy} + ikUS) \varphi_1 \right) dy. \quad (2.35)$$

Skaitliski aprēķinot trīs robežuzdevumus (2.23) un (2.24), (2.25) un (2.26), (2.27) un (2.28), iegūstam funkcijas  $\varphi_2^{(0)}(y)$ ,  $\varphi_2^{(1)}(y)$  un  $\varphi_2^{(2)}(y)$ . Funkciju  $\psi_2$  aprēķinām no (2.22).

Amplitūdas  $A(\xi, \tau)$  evolūcijas vienādojums tiek noteikts no trešās kārtas tuvianājuma (2.21) atrisināmības nosacījumiem. Vienādojumam (2.21) ir atrisinājums tad un tikai tad, ja vienādojuma labā puse ir ortogonāla visām attiecīgā homogēnā saistītā uzdevuma (2.31) un (2.32) īpašfunkcijām  $\varphi_1^a$ . Izmantojot atrisināmības nosacījumu vienādojumam (2.21), noteiksim:

$$\int_{-\infty}^{\infty} \varphi_1^a \cdot L \psi_3 dy = 0 \quad (2.36)$$

Vienādojums (2.36) tiek pārvērts amplitūdas  $A(\xi, \tau)$  evolūcijas vienādojuma formā:

$$\frac{\partial A}{\partial \tau} = \sigma A + \delta \frac{\partial^2 A}{\partial \xi^2} - \mu |A|^2 A. \quad (2.37)$$

Vienādojums (2.37) ir Ginzburga–Landau vienādojums kompleksā veidā. Vienādojuma koeficienti ir kompleksie skaitļi  $\sigma$ ,  $\delta$  un  $\mu$ :

$$\sigma = \frac{\sigma_1}{\eta}, \quad \delta = \frac{\delta_1}{\eta}, \quad \mu = \frac{\mu_1}{\eta}. \quad (2.38)$$

Koeficients  $\sigma_1, \delta_1$  un  $\mu_1$  tiek aprēķināts šādi :

$$\mu_1 = \int_{-\infty}^{+\infty} \varphi_1^a \left( \begin{array}{l} 6ik^3 \varphi_2^{(2)} \varphi_{1y}^* - 2ik \varphi_{1y}^* \varphi_{2yy}^{(2)} + 3ik^3 \varphi_1^* \varphi_{2y}^{(2)} + ik^3 \varphi_1 \left( \varphi_{2y}^{(0)} + \varphi_{2y}^{*(0)} \right) \\ - ik \varphi_{1yy} \left( \varphi_{2y}^{(0)} + \varphi_{2y}^{*(0)} \right) + ik \varphi_{2y}^{(2)} \varphi_{1yy}^* + ik \varphi_1 \left( \varphi_{2yyy}^{(0)} + \varphi_{2yyy}^{*(0)} \right) \\ - ik \varphi_1^* \varphi_{2yyy}^{(2)} + 2ik \varphi_{1yyy}^* \varphi_2^{(2)} - 2 \frac{ik}{R} \left( \varphi_{2y}^{(2)} \varphi_{1y}^* + \varphi_{2y}^{(0)} \varphi_{1y} \right) \end{array} \right) dy,$$

$$\sigma_1 = \frac{S}{2} \int_{-\infty}^{+\infty} \varphi_1^a \left( \begin{array}{l} -k^2 \varphi_1 \left( \varphi_{2y}^{(0)} + \varphi_{2y}^{*(0)} \right) + 3k^2 \varphi_1^* \varphi_{2y}^{(2)} - \frac{3k^4}{2u_0} \varphi_1^2 \varphi_1^* \\ - \frac{S}{2} + 2\varphi_{1yy} \left( \varphi_{2y}^{(0)} + \varphi_{2y}^{*(0)} \right) + 2\varphi_{1yy}^* \varphi_{2y}^{(2)} \\ + 2\varphi_{1y} \left( \varphi_{2yy}^{(0)} + \varphi_{2yy}^{*(0)} \right) + 2\varphi_{2yy}^{(2)} \varphi_{1y}^* \end{array} \right) dy, \quad (2.39)$$

$$\sigma_1 = \frac{S}{2} \int_{-\infty}^{+\infty} \varphi_1^a \left( -k^2 U \varphi_1 + 2U_y \varphi_{1y} + 2U \varphi_{1yy} \right) dy \quad (2.40)$$

$$\delta_1 = \int_{-\infty}^{+\infty} \varphi_1^a \left( \begin{array}{l} \left( c_g - U \right) \varphi_{2yy}^{(1)} - 2 \frac{U}{R} \varphi_{2y}^{(1)} \\ + \varphi_2^{(1)} \left( -k^2 c_g - 2k^2 c + 3k^2 U + U_{yy} - ik S U \right) \\ + \varphi_1 \left( 2ik c_g + ik c - 3ik U - U \frac{S}{2} \right) \end{array} \right) dy. \quad (2.41)$$

Izmantojot plūsmas raksturlielumus, kas iegūti no plūsmas lineārās stabilitātes problēmas risinājuma, formulas (2.38)–(2.41) nosaka vienādojuma (2.37) koeficientus.

## 2.4. Skaitliskā metode vāji nelineārai stabilitātei

Lai iegūtu  $\sigma$ ,  $\delta$  un  $\mu$ , ir nepieciešams veikt šādus aprēķinus:

1) atrisināt lineārās stabilitātes problēmu (2.6) un (2.7) un noteikt parametru  $k, S, c$  kritiskās vērtības un atbilstošās īpašfunkcijas  $\varphi_1(y)$ ;

2) atrisināt homogēno saistīto uzdevumu (2.31) un (2.32) un noteikt saistītās īpašfunkcijas  $\varphi_1^a$ ;

3) atrisināt trīs robežuzdevumus (2.23) un (2.24), (2.25) un (2.26), (2.27) un (2.28) un noteikt funkcijas  $\varphi_2^{(0)}(y)$ ,  $\varphi_2^{(1)}(y)$  un  $\varphi_2^{(2)}(y)$ ;

4) aprēķināt integrāļus no (2.38).

Vispirms aprēķinām matricu  $B$  un  $D$  elementus (2.12), tad īpašvērtību uzdevums (2.6) un (2.7) tiek rēķināts skaitliski. Līdzīgā veidā atrisināti robežuzdevumi (2.23) un (2.24), (2.27) un (2.28). Katram robežuzdevumam pēc diskretizācijas iegūsim lineāru algebrisku vienādojumu sistēmu formā:

$$Fa = G, \quad (2.42)$$

$$\text{kur } a = (a_0 \ a_1 \dots \ a_{N-1})^T$$

Matrica  $F$  šiem robežuzdevumiem nav singulāra. Tāpēc, lai atrastu  $a$ , var izmantot jebkuru lineāru vienādojumu risināšanas programmu. Funkcijas  $\varphi_2^{(0)}(y)$  un  $\varphi_2^{(2)}(y)$  tiek rēķinātas, izmantojot izteiksmi (2.10).

Robežuzdevumu (2.25) un (2.26) atrisinājums arī tiek meklēts formā (2.10). Pēc diskretizācijas iegūsim lineāru algebrisku vienādojumu sistēmu formā (2.42), bet šoreiz matrica  $F$  ir singulāra, jo atbilstošajai homogēnajai daļai no (2.29) ir netriviāls atrisinājums pie  $S = S_c$ ,  $k = k_c$  un  $c = c_c$ . Šajā gadījumā vienādojums (2.42) tiek atrisināts, izmantojot singulāras vērtības dekompozīcijas metodi [36]. Ir zināms, ka gadījumā, kad  $F$  ir kompleksa matrica  $N \times N$ , eksistē tādas ortogonālas  $N \times N$  matricas  $U$  un  $V$ , ka:

$$U^H \cdot F \cdot V = \Sigma, \quad (2.43)$$

$$\text{kur } \Sigma = \text{diag}(\gamma_1, \gamma_2, \dots, \gamma_N).$$

Vienādojumu (2.43) sauc par matricas  $F$  singulāras vērtības dekompozīciju un  $\gamma_1, \gamma_2, \dots, \gamma_N$  ir singulāras matricas  $F$  vērtības. Pēdējā no singulārajām vērtībām būs vienāda ar nulli ( $\gamma_1 > \gamma_2 > \dots > \gamma_{N-1} > \gamma_N = 0$ ). No tā seko, ka (2.42) atrisinājumu var uzrakstīt formā:

$$a = V \cdot \Sigma^{-1} \cdot U^H \cdot G, \quad (2.44)$$

kur pēdējā matricas  $V$  kolonna, pēdējā matricas  $U^H$  rinda, kā arī matricas  $\Sigma^{-1}$  pēdējā kolonna un rinda tiek dzēsta.

Atrisinājums komponenšu formā ir:

$$a = \sum_{i=1}^{N-1} \frac{U_i^H \cdot G \cdot V_i}{\gamma_i}, \quad (2.45)$$

kur  $U^H$  un  $V_i$  ir vektori (attiecīgi matricu  $U^H$  un  $V$  kolonnas).

Funkciju  $\varphi_2^{(1)}(y)$  vērtības var aprēķināt no formulas (2.10), kur koeficienti  $a_j$  ir vektora  $a$  komponentes no (2.45).

Skaitlošanas procedūras pēdējais solis ietver integrāļu aprēķinu no (2.38), kurā izmantota adaptīvā kvadratūras formula, kas aprakstīta [30].

### 3. Lineārā un vāji nelineārā stabilitāte divu komponenšu nedaudz izliektu seklā ūdens plūsmu sajaukšanās slāniem

#### 3.1. Lineārā stabilitāte

Tiek apskatīts gadījums, kurā šķidrums satur sīkas smagas daļīnas ([62], [63]). Pieņēmumi, kas tiek izmantoti vienādojumos, ir apkopoti 1.2. apakšnodaļā. No šiem vienādojumiem, izmantojot formulas (2.1) un definējot plūsmas funkciju  $\psi(x, y, t)$ , iegūsim ([12], [13], [27]):

$$\begin{aligned} & (\Delta \psi)_t + \psi_y (\Delta \psi)_x - \psi_x (\Delta \psi)_y + \frac{2}{R} \psi_y \psi_{xy} + \frac{c_f}{2h} \Delta \psi \sqrt{\psi_x^2 + \psi_y^2} \\ & + \frac{c_f}{2h \sqrt{\psi_x^2 + \psi_y^2}} (\psi_y^2 \psi_{yy} + 2\psi_x \psi_y \psi_{xy} + \psi_x^2 \psi_{xx}) + B \Delta \psi = 0. \end{aligned} \quad (3.1)$$

Perturbācija plūsmas funkcijai  $\psi(x, y, t)$  tiek meklēta formā:

$$\psi(x, y, t) = \psi_0(y) + \varepsilon \psi_1(x, y, t) + \varepsilon^2 \psi_2(x, y, t) + \varepsilon^3 \psi_3(x, y, t) + \dots \quad (3.2)$$

Ievietojot (3.2) vienādojumā (3.1) un linearizējot vienādojumu bāzes plūsmas apkārtnē, iegūstam (2.1. apakšnodaļa):

$$L \psi_1 = 0, \quad (3.3)$$

kur

$$L\psi \equiv \psi_{xxt} + \psi_{yyt} + \psi_{0y}\psi_{xxx} + \psi_{0y}\psi_{yyx} - \psi_{0yyy}\psi_x + \frac{2}{R}\psi_{0y}\psi_{xy} \\ + \frac{c_f}{2h}(\psi_{0y}\psi_{xx} + 2\psi_{oyy}\psi_y + 2\psi_{0y}\psi_{yy}) + B(\psi_{1xx} + \psi_{1yy}) \quad (3.4)$$

Izmantojot normālo modu metodi [11], perturbācija tiek meklēta formā:

$$\psi_1(x, y, t) = \varphi_1(y)e^{ik(x-ct)}. \quad (3.5)$$

Izmantojot (3.3) un (3.5), iegūstam robežuzdevumu:

$$L\varphi_1 \equiv \varphi_1''\left(U - c - \frac{iSU}{k} - \frac{iB}{k}\right) + \varphi_1'\left(\frac{2U}{R} - \frac{iSU_y}{k}\right) \\ + \varphi_1\left(k^2c - k^2U - U_{yy} + \frac{ikSU}{2} + ikB\right) = 0 \quad (3.6)$$

$$\varphi_1(\pm\infty) = 0. \quad (3.7)$$

Robežuzdevums (3.6) un (3.7) parasti tiek risināts skaitliski. 2.2. apakšnodaļā ir aprakstīts skaitliskās metodes algoritms, kas ļauj iegūt tikai parametru  $S_c, k_c, c_c$  kritiskās vērtības. Tipiska marginālās stabilitātes līkne seklā ūdens plūsmām ir izliekta līkne ar vienu maksimumu (koordinātas maksimālam punktam  $(k; S)$  plaknē:  $k = k_c$  un  $S = S_c$ ).

## 3.2. Vāji nelineārā stabilitāte

Pieņemsim, ka stabilitātes parametrs ir nedaudz mazāks par kritisko vērtību:

$$S = S_c(1 - \varepsilon^2). \quad (3.8)$$

Ieviešam šādus "lēnos" mainīgos [57]:

$$\tau = \varepsilon^2 t, \quad \xi = \varepsilon(x - c_g t). \quad (3.9)$$

Funkcija  $\psi_1$  tiek definēta šādā formā:

$$\psi_1(x, y, t, \xi, \tau) = A(\xi, \tau)\varphi_1(y)e^{ik(x-ct)}, \quad (3.10)$$

kur  $\varphi_1(y)$  ir īpašfunkcija pie  $S = S_c$ ,  $k = k_c$  un  $c = c_c$ .

Mērķis ir iegūt amplitūdas funkcijas  $A(\xi, \tau)$  attīstības vienādojumu.

Izmantojot (3.1), (3.2), (3.10) un sagrupējot locekļus, kas satur  $\varepsilon^2$ , iegūstam:

$$L_1 \psi_2 = \tilde{f}_2 \quad (3.12)$$

Analizējot  $\tilde{f}_2$  struktūru vienādojumā (3.12),  $\psi_2$  ir jāmeklē formā:

$$\psi_2 = AA^* \varphi_2^{(0)}(y) + A_\xi \varphi_2^{(1)}(y) e^{ik(x-ct)} + A^2 \varphi_2^{(2)}(y) e^{2ik(x-ct)}, \quad (3.13)$$

kur  $\varphi_2^{(0)}(y), \varphi_2^{(1)}(y)$  un  $\varphi_2^{(2)}(y)$  ir nezināmas funkcijas, kas atkarīgas no  $y$ .

Ievietojot  $\psi_2$  vienādojumā (3.12) un sagrupējot no laika neatkarīgos locekļus, iegūstam robežuzdevumu:

$$\begin{aligned} & 2S\left(U_y\left(\varphi_{2y}^{(0)} + \varphi_{2y}^{*(0)}\right) + U\left(\varphi_{2yy}^{(0)} + \varphi_{2yy}^{*(0)}\right)\right) + 2B\left(\varphi_{2yy}^{(0)} + \varphi_{2yy}^{*(0)}\right) \\ &= ik\begin{pmatrix} \varphi_{1y}\varphi_{1yy}^* - \varphi_{1y}^*\varphi_{1yy} + \\ + \varphi_1\varphi_{1yyy}^* - \varphi_1^*\varphi_{1yyy} \end{pmatrix} - \frac{S}{2}\begin{pmatrix} k^2\left(\varphi_1\varphi_{1y}^* + \varphi_1^*\varphi_{1y}\right) + \\ + 2\left(\varphi_{1y}^*\varphi_{1yy} + \varphi_{1yy}^*\varphi_{1y}\right) \end{pmatrix} \end{aligned} \quad (3.14)$$

$$\varphi_2^{(0)}(\pm\infty) = 0. \quad (3.15)$$

Sagrupējot locekļus, kas satur pirmo harmoniku, iegūstam robežuzdevumu:

$$\begin{aligned} & \left(U - c - SU \frac{i}{k} - \frac{iB}{k}\right) \varphi_{2yy}^{(1)} + \left(2 \frac{U}{R} - SU_y \frac{i}{k}\right) \varphi_{2y}^{(1)} \\ &+ \left(k^2c - k^2U - U_{yy} + \frac{ikSU}{2} + ikB\right) \varphi_2^{(1)} = -\frac{i}{k}(c_g - U) \varphi_{1yy} \\ &+ 2 \frac{iU}{kR} \varphi_{1y} + \left(2ikc - 3ikU - \frac{i}{k}U_{yy} + ikc_g - US - 2B\right) \varphi_1 \end{aligned} \quad (3.16)$$

$$\varphi_2^{(1)}(\pm\infty) = 0. \quad (3.17)$$

Sagrupējot locekļus, kas satur otro harmoniku, iegūstam robežuzdevumu:

$$\begin{aligned} & 8ik^3c\varphi_2^{(2)} - 2ikc\varphi_{2yy}^{(2)} - 8ik^3U\varphi_2^{(2)} + 2ikU\varphi_{2yy}^{(2)} - 2ikU_{yy}\varphi_2^{(2)} \\ &+ S\begin{pmatrix} 2U_y\varphi_{2y}^{(2)} + 2U\varphi_{2yy}^{(2)} \\ -4k^2U\varphi_2^{(2)} \end{pmatrix} + \frac{4ik}{R}U\varphi_{2y}^{(2)} + B\left(\varphi_{2yy}^{(2)} - 4k^2\varphi_2^{(2)}\right) \end{aligned} \quad (3.18)$$

$$\begin{aligned} & = ik\left(\varphi_1\varphi_{1yyy} - \varphi_{1y}\varphi_{1yy}\right) - S\left(2\varphi_{1y}\varphi_{1yy} - 3k^2\varphi_1\varphi_{1y}\right) - \frac{2ik}{R}\varphi_{1y}^2 \\ & \varphi_2^{(2)}(\pm\infty) = 0. \end{aligned} \quad (3.19)$$

Saistītais operators  $L^a$  un saistītās īpašfunkcijas  $\varphi_1^a$  ir noteiktas šādi:

$$\int_{-\infty}^{+\infty} \varphi_1^a \cdot L \varphi_1 dy = \int_{-\infty}^{+\infty} \varphi_1 \cdot L^a \varphi_1^a dy. \quad (3.20)$$

Saistītais robežuzdevums ir:

$$L^a \varphi_1^a = 0, \quad (3.21)$$

$$\varphi_1^a(\pm\infty) = 0. \quad (3.22)$$

Parciāli integrējot (3.20) kreiso pusī un izmantojot robežnosacījumus (3.7) un (3.22), iegūstam:

$$\begin{aligned} L^a \varphi_1^a &\equiv \varphi_{1yy}^a \left( U - c - SU \frac{i}{k} - B \frac{i}{k} \right) + \varphi_{1y}^a \left( 2U_y - SU_y \frac{i}{k} - 2 \frac{U}{R} \right) \\ &+ \varphi_1^a \left( k^2 c - k^2 U + \frac{ik}{2} SU - 2 \frac{U_y}{R} + Bik \right). \end{aligned} \quad (3.23)$$

Atrisināmības nosacījums vienādojumam (3.16) ir formā:

$$\int_{-\infty}^{+\infty} \varphi_1^a \left[ (c_g - U) \varphi_{1yy} - 2 \frac{U}{R} \varphi_{1y} + \begin{pmatrix} -2k^2 c + 3k^2 U + U_{yy} \\ -k^2 c_g + ikUS + 2Bik \end{pmatrix} \varphi_1 \right] dy = 0. \quad (3.24)$$

No tā var noteikt grupas ātrumu  $c_g$ .

Sagrupējot locekļus, kas satur  $\varepsilon^3$ , iegūstam:

$$L_1 \psi_3 = \tilde{f}_3. \quad (3.25)$$

Amplitūdas  $A(\xi, \tau)$  evolūcijas vienādojums tiek noteikts no trešās kārtas tuvinājuma (3.25) atrisināmības nosacījumiem. Reizinot vienādojuma (3.25) labo pusī ar  $\varphi_1^a$ , izmantojot (3.13) un atrisinājumus robežuzdevumiem (3.14)–(3.19), amplitūdai  $A(\xi, \tau)$  iegūstam kompleksā veida Ginzburga–Landau vienādojumu:

$$\frac{\partial A}{\partial \tau} = \sigma A + \delta \frac{\partial^2 A}{\partial \xi^2} - \mu |A|^2 A, \quad (3.26)$$

kur

$$\sigma = \frac{\sigma_1}{\eta}, \quad \delta = \frac{\delta_1}{\eta}, \quad \mu = \frac{\mu_1}{\eta}, \quad (3.27)$$

$$\eta = \int_{-\infty}^{+\infty} \varphi_1^a (\varphi_{1yy} - k^2 \varphi_1) dy, \quad (3.28)$$

$$\sigma_1 = \frac{S}{2} \int_{-\infty}^{+\infty} \varphi_1^a (-k^2 U \varphi_1 + 2U_y \varphi_{1y} + 2U \varphi_{1yy}) dy, \quad (3.29)$$

$$\delta_1 = \int_{-\infty}^{+\infty} \varphi_1^a \left( \begin{aligned} & (c_g - U) \varphi_{2yy}^{(1)} - 2 \frac{U}{R} \varphi_{2y}^{(1)} \\ & + \varphi_2^{(1)} (-k^2 c_g - 2k^2 c + 3k^2 U + U_{yy} - ikSU - 2ikB) \\ & + \varphi_1 \left( 2ikc_g + ikc - 3ikU - U \frac{S}{2} - B \right) \end{aligned} \right) dy, \quad (3.30)$$

$$\mu_1 = - \int_{-\infty}^{+\infty} \varphi_1^a \left( \begin{aligned} & 6ik^3 \varphi_2^{(2)} \varphi_{1y}^* - 2ik \varphi_{1y}^* \varphi_{2yy}^{(2)} + 3ik^3 \varphi_1^* \varphi_{2y}^{(2)} \\ & + ik^3 \varphi_1 (\varphi_{2y}^{(0)} + \varphi_{2y}^{*(0)}) - ik \varphi_{1yy} (\varphi_{2y}^{(0)} + \varphi_{2y}^{*(0)}) \\ & + ik \varphi_{2y}^{(2)} \varphi_{1yy}^* - ik \varphi_1^* \varphi_{2yy}^{(2)} \\ & + ik \varphi_1 (\varphi_{2yy}^{(0)} + \varphi_{2yy}^{*(0)}) + 2ik \varphi_{1yy}^* \varphi_2^{(2)} \\ & - k^2 \varphi_1 (\varphi_{2y}^{(0)} + \varphi_{2y}^{*(0)}) + 3k^2 \varphi_1^* \varphi_{2y}^{(2)} - \frac{3k^4}{2u_0} \varphi_1^2 \varphi_1^* \\ & - \frac{S}{2} + 2\varphi_{1yy} (\varphi_{2y}^{(0)} + \varphi_{2y}^{*(0)}) + 2\varphi_{1yy}^* \varphi_{2y}^{(2)} \\ & + 2\varphi_{1y} (\varphi_{2yy}^{(0)} + \varphi_{2yy}^{*(0)}) + 2\varphi_{2yy}^{(2)} \varphi_{1y}^* \\ & - 2 \frac{ik}{R} (\varphi_{2y}^{(2)} \varphi_{1y}^* + \varphi_{2y}^{(0)} \varphi_{1y}) \end{aligned} \right) dy. \quad (3.31)$$

Ginzburga–Landau vienādojuma (3.26) koeficientus var aprēķināt, izmantojot formulas (3.27)–(3.31). Jāņem vērā, ka, lai veiktu aprēķinus, ir nepieciešams atrisināt lineārās stabilitātes robežuzdevumu (3.6) un (3.7), atbilstošo saistīto uzdevumu (3.21) un (3.22), trīs robežuzdevumus (3.14)–(3.19) un skaitliski aprēķināt integrālu (3.27)–(3.31) vērtības.

## 4. Stabilitāte garenvirzienā nedaudz izliektu seklā ūdens plūsmu sajaukšanās slāņiem

### 4.1. Lineārā stabilitāte

Hidromehānikā ir divas pamatpieejas lineārās stabilitātes bāzes plūsmas analīzei:

- (a) pēc laika (*temporal*)
- (b) garenvirzienā (*spatial*) [11].

Abos gadījumos analīze veikta, izmantojot normālo modu metodi, un ir pieņemts, ka perturbācija ir proporcionāla  $\exp(i(\alpha x - \beta t))$ , turklāt abi parametri  $\alpha$  un  $\beta$  var būt kompleksie skaitļi:  $\alpha = \alpha_r + i\alpha_i$ ,  $\beta = \beta_r + i\beta_i$ .

Gadījumā (a) viļņu skaitlis  $\alpha = \alpha_r$  ir reāls, bet  $\beta$  ir komplekss. Šī pieeja ir ērtāka no skaitlošanas viedokļa, jo attiecīgais vispārinātais īpašvērtību  $\beta$  uzdevums ir lineārs un to var viegli atrisināt ar standarta programmatūras paketēm. Gadījumā (b)  $\beta = \beta_r$  ir reāls un  $\alpha = \alpha_r + i\alpha_i$ . Šī pieeja ir ērtāka, lai salīdzinātu ar eksperimentālajiem datiem, bet prasa sarežģītāku skaitlošanu, jo īpašvērtību uzdevums attiecībā uz  $\alpha$  ir nelineārs.

Ieviešot plūsmas funkciju (2.1. apakšnodaļa) ar izteiksmi (2.1), varam pārrakstīt (1.1)–(1.3) ([12], [19], [20], [21], [26]) formā (2.4) vai:

$$L_1 \psi_1 = 0, \quad (4.1)$$

kur

$$\begin{aligned} L_1 \psi &\equiv \psi_{xxt} + \psi_{yyt} + \psi_{0y}(\psi_{xxx} + \psi_{xyy}) - \psi_{0yy}\psi_x \\ &+ \frac{c_f}{2h}(\psi_{0y}\psi_{xx} + 2\psi_{0yy}\psi_y + 2\psi_{0y}\psi_{yy}) + \frac{2}{R}\psi_{0y}\psi_{xy}. \end{aligned} \quad (4.2)$$

Izmantojot normālo modu metodi, perturbācija tiek meklēta formā:

$$\psi_1(x, y, t) = \varphi(y) e^{i(\alpha x - \beta t)}, \quad (4.3)$$

kur  $\varphi(y)$  – normālās perturbācijas amplitūda.

Ievietojot (4.3) vienādojumā (4.1) un apzīmējot  $U = \psi_{0y}$ , iegūstam:

$$\begin{aligned} \varphi_{yy}(\alpha U - \beta - iSU) - iSU_y \varphi_y + \frac{2U\alpha}{R} \varphi_y \\ + \varphi \left( \alpha^2 \beta - \alpha^3 U - \alpha U_{yy} + \frac{i\alpha^2 US}{2} \right) = 0 \end{aligned} \quad (4.4)$$

Robežnosacījumi ir:

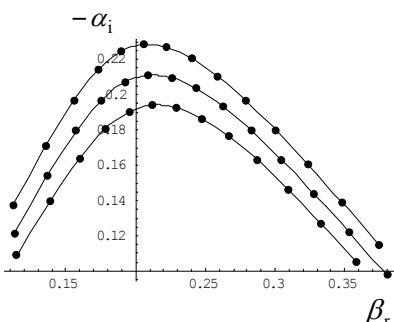
$$\varphi(\pm\infty) = 0. \quad (4.5)$$

Uzdevums (4.4), (4.5) ir īpašvērtību uzdevums. Tās tiek risināts, izmantojot lineārās stabilitātes analīzi gadījumam (b). Bāzes plūsma  $U(y)$  tiek uzskatīta par lineāri stabilu, ja visi  $\alpha_i > 0$ , un nestabilu, ja vismaz viens  $\alpha_i < 0$ . Piedāvājam šādu skaitļošanas procedūru. Vispirms uzdevumu risinām, pieņemot ka abi parametri  $\alpha$  un  $\beta$  ir kompleksi. Pēc tam katrai fiksētai parametru kopai  $S, \alpha_r$  un  $\beta_r$  meklējam tādu  $\alpha_i$ , lai  $\beta_i = 0$ . Tas tiek panākts, risinot lineāru vispārinātu īpašvērtību uzdevumu un izvēloties jaunu  $\beta_i$  aproksimāciju, izmantojot bisekcijas metodi. Tad mēs mainām  $\alpha_r$  (fiksētai  $S$  vērtībai) un atkārtojam aprēķinu. Garenvirziena nestabilitātes apgabalu dod  $\alpha_i < 0$ .

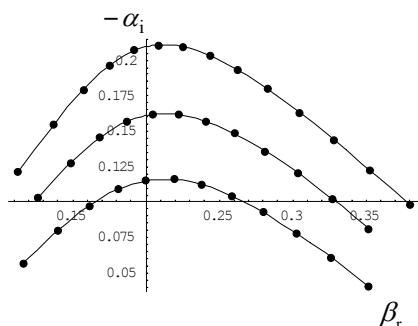
Bāzes plūsma izvēlēta formā:

$$U(y) = \frac{1}{2}(1 + \tanh y) \quad (4.6)$$

Pieauguma tempi  $-\alpha_i$  atkarībā no  $\beta_r$  tiek parādīti 4.1. un 4.2. attēlā.



4.1. att. Pieauguma tempi  $-\alpha_i$  atkarībā no  $\beta_r$  trim vērtībām  
 $1/R = 0; 1/R = 0,025; 1/R = 0,05$   
 (no augšas uz leju).



4.2. att. Pieauguma tempi  $-\alpha_i$  no atkarībā  $\beta_r$  trim vērtībām  $S = 0;$   
 $S = 0,05; S = 0,1$   
 (no augšas uz leju).

Pirmā aprēķinu kopa tiek veikta, neņemot vērā berzi ( $S = 0$ ). No 4.1. attēla ir redzams, ka izliekums dod stabilizējošu ietekmi uz plūsmu (izaugsmes tempi samazināsies, ja izliekums palielināsies). 4.2. attēls rāda, ka arī  $S$  vērtību pieaugums novēr pie stabilākas plūsmas – pieauguma tempi samazinās, ja parametrs  $S$  aug. Var secināt, ka gan gultnes berze, gan plūsmas izliekums stabilizē plūsmu.

M. Gasters [31] ieteica transformāciju, ko var izmantot, lai aproksimētu pieauguma tempus garenvirzienā, ja pieauguma tempi laikā ir zināmi. Tomēr Gastera transformāciju var izmantot tikai stabilitātes līknes apkārtnē [19].

Pēc M. Gastera [31] uzdevuma (4.4) un (4.5) atrisinājumus apzīmē ar  $(T)$  un  $(Sp)$ , kas attiecīgi atbilst uzdevumu risinājuma pieejām pēc laika un garenvirzienā. Darbā [31] parādīts, ka netālu no marginālas stabilitātes līknes:

$$\alpha_r(T) = \alpha_r(Sp), \beta_r(T) = \beta_r(Sp), \alpha_i(Sp) = -\frac{\beta_i(T)}{c(T)}, c(T) = \frac{\beta_r(T)}{\alpha_r(T)}.$$

Kā izriet no Gastera transformācijas, uz stabilitātes robežas var izmantot abas lineārās stabilitātes pieejas, jo šajā gadījumā  $\alpha_i(Sp) = \beta_i(T) = 0$ . Ja analīzes mērkis ir veidot marginālās stabilitātes līkni, tad ieteicams lietot stabilitātes analīzi pēc laika, jo tā no skaitļošanas viedokļa ir vienkāršāka metode.

## 4.2. Vāji nelineārā stabilitāte

Šajā apakšnodaļā aprakstīta otrs pieeja, kuru var izmantot, lai iegūtu perturbācijas amplitūdas evolūcijas vienādojumu, pieņemot, ka bāzes plūsma nav paralēla, bet nedaudz mainās lejup pa straumi.

Aplūkosim seklā ūdens vienādojumu sistēmu formā (1.1)–(1.3). No šiem vienādojumiem, izmantojot formulas (2.1) un definējot plūsmas funkciju  $\psi(x, y, t)$ , iegūsim

$$\begin{aligned} (\Delta\psi)_t + \psi_y(\Delta\psi)_x - \psi_x(\Delta\psi)_y + \frac{2}{R}\psi_y\psi_{xy} + \frac{c_f}{2h}\Delta\psi\sqrt{\psi_x^2 + \psi_y^2} \\ + \frac{c_f}{2h\sqrt{\psi_x^2 + \psi_y^2}}(\psi_y^2\psi_{yy} + 2\psi_x\psi_y\psi_{xy} + \psi_x^2\psi_{xx}) + B\Delta\psi = 0. \end{aligned} \quad (4.7)$$

Pieņemsim, ka  $\lambda$  ir perturbācijas vilņa garums un  $l$  ir garuma mērogs gareniskās svārstības bāzes plūsmai. Seklā ūdens sajaukšanās slāņos ([59], [60]) parasti ir izpildīts nosacījums  $\lambda \ll l$ . Tātad mazu parametru  $\varepsilon$  var definēt šādi:  $\varepsilon = \lambda/l$ . Pēc [35] ieviešam garenvirziena lēno koordinātu  $X$ :  $X = \varepsilon x$ . Bāzes plūsmas ātruma komponentes ir attiecīgi  $U(y, X)$  un  $\varepsilon V(y, X)$ . Plūsmas funkcija  $\psi(x, y, t)$  tiek veidota kā pamata daļas  $\psi_0(y, X)$  un svārstīgās daļas  $\psi'(x, y, t)$  summa:

$$\psi(x, y, t) = \psi_0(y, X) + \psi'(x, y, t). \quad (4.8)$$

Turklāt:

$$U(y, X) = \frac{\partial \psi_0}{\partial y}; V(y, X) = -\frac{\partial \psi_0}{\partial X}. \quad (4.9)$$

Izmantojot (4.8) vienādojumā (4.7), iegūstam:

$$\begin{aligned} & \frac{\partial}{\partial t} \left( \frac{\partial^2 \psi}{\partial x^2} + \frac{\partial^2 \psi}{\partial y^2} \right) + U \frac{\partial}{\partial x} \left( \frac{\partial^2 \psi}{\partial x^2} + \frac{\partial^2 \psi}{\partial y^2} \right) - \frac{\partial \psi}{\partial x} \frac{\partial^2 U}{\partial y^2} \\ & + \frac{c_f}{2h} \left( U \left( \frac{\partial^2 \psi}{\partial x^2} + 2 \frac{\partial^2 \psi}{\partial y^2} \right) + 2 \frac{\partial U}{\partial y} \frac{\partial \psi}{\partial y} \right) + B \left( \frac{\partial^2 \psi}{\partial x^2} + \frac{\partial^2 \psi}{\partial y^2} \right) \quad (4.10) \\ & + \varepsilon \left. \begin{aligned} & \left( \frac{\partial^2 U}{\partial y \partial X} \frac{\partial \psi}{\partial y} + V \frac{\partial}{\partial y} \left( \frac{\partial^2 \psi}{\partial x^2} + \frac{\partial^2 \psi}{\partial y^2} \right) \right) \\ & + \frac{c_f}{2h} \left( 2 \frac{\partial U}{\partial X} \frac{\partial \psi}{\partial x} - 2V \frac{\partial^2 \psi}{\partial y \partial x} + \frac{U_y}{U} V \frac{\partial \psi}{\partial x} \right) \\ & + \frac{2}{R} \frac{\partial U}{\partial X} \frac{\partial \psi}{\partial y} \end{aligned} \right) = 0. \end{aligned}$$

Izmantojot *WKBJ* aproksimāciju [35], plūsmas funkcija tiek meklēta formā:

$$\psi(x, y, t) = \varphi(y, X) \exp \left( i \left( \frac{\theta(X)}{\varepsilon} - \omega t \right) \right), \quad (4.11)$$

kur

$\varphi(y, X)$  ir lēni mainīga amplitūdas funkcija;

$\frac{\theta(X)}{\varepsilon}$  ir strauji mainīga fāzes funkcija.

Amplitūdas funkcija  $\varphi(y, X)$  tiek izvērsta pakāpju rindas formā

$$\varphi(y, X) = \varphi_1(y, X) + \varepsilon \varphi_2(y, X) + \dots \quad (4.12)$$

Ievietojot (4.11) un (4.12) vienādojumā (4.10), tiek iegūts vienādojums:

$$L(\varphi_1) = 0, \quad (4.13)$$

kur

$$\begin{aligned} L\varphi_1 &= \varphi_1'' - k^2 \varphi_1 - \frac{U''}{U - \frac{\omega}{k}} \varphi_1 + \frac{2}{R} U \varphi_1' + B \frac{ik}{U - \frac{\omega}{k}} \varphi_1 \\ & - \frac{ic_f}{2h(kU - \omega)} \left( -Uk^2 \varphi_1 + 2U\varphi_1'' + 2U'\varphi_1' \right). \end{aligned} \quad (4.14)$$

Šeit  $\theta_x = k$  un atvasinājumi ir pēc  $y$ .

Vienādojums (4.13) ar robežnosacījumiem ir lineārs stabilitātes uzdevums.

Atbilstošo īpašvērtību  $\varphi_1(y, X)$  var pierakstīt veidā:

$$\varphi_1(y, X) = A(X)\Phi(y, X), \quad (4.15)$$

kur  $A(X)$  ir lēni mainīga amplitūda;

$\Phi(y, X)$  ir normēta īpašfunkcija.

Otrajā tuvinājumā tiek iegūts vienādojums

$$L\varphi_2 = F. \quad (4.16)$$

Vienādojumam (4.16) atrisinājums eksistē tad un tikai tad, ja  $F$  ir ortogonāls visām atbilstošajām saistītā uzdevuma īpašfunkcijām  $\tilde{\Phi}$ :

$$\int_{-\infty}^{+\infty} F \tilde{\Phi} dy = 0. \quad (4.17)$$

Izmantojot (4.16) un (4.17), iegūstam amplitūdas  $A(X)$  vienādojumu:

$$M(X) \frac{dA}{dX} + N(X)A = 0, \quad (4.18)$$

$$M(X) = i \int_{-\infty}^{+\infty} \tilde{\Phi} \begin{pmatrix} 2\omega k\Phi - 3Uk^2\Phi + U\Phi'' - \Phi U''' \\ -2\frac{U}{R}\Phi' + \frac{c_f}{h}iUk\Phi + 2ikB\Phi \end{pmatrix} \Bigg/ (kU - \omega) dy, \quad (4.19)$$

$$N(X) = i \int_{-\infty}^{+\infty} \frac{D\tilde{\Phi}}{kU - \omega} dy, \quad (4.20)$$

$$\begin{aligned} D &= 2\omega k \frac{\partial \Phi}{\partial x} + \Phi(\omega - 3Uk) \frac{dk}{dX} - \left(3Uk^2 + U''\right) \frac{\partial \Phi}{\partial X} + U \frac{\partial \Phi''}{\partial X} \\ &+ \frac{\partial U'}{\partial X} \Phi' - 2\frac{U}{R} \frac{\partial \Phi'}{\partial X} + V\left(\Phi''' - k^2\Phi\right) + B\left(2ik \frac{\partial \Phi}{\partial X} + i \frac{dk}{dX} \Phi\right) \quad (4.21) \\ &+ \frac{c_f}{2h} \left(2iUk \frac{\partial \Phi}{\partial x} + 2ik \frac{\partial U}{\partial X} \Phi + i \frac{dk}{dX} U\Phi - 2ikV\Phi'\right). \end{aligned}$$

Plūsmas funkcijas svārstīgā daļa tiek iegūta formā:

$$\psi(x, y, t) \sim A(X)\Phi(y, X) \times \exp\left(i\left(\frac{1}{\varepsilon} \int_0^X k(X) dX - \omega t\right)\right). \quad (4.22)$$

Formulā (4.22) tiek ņemtas vērā lēno garenvirziena bāzes plūsmu svārstības. To pieauguma temps un fāzes ātrums ir atkarīgi ne tikai no plūsmas funkciju izvēles, bet arī no tā punkta vietas izvēles, kurā tiek aprēķināti šie parametri [8].

Vāji nelineārā modeļa (4.18) salīdzinājumam ar eksperimentāliem datiem ir būtiska nozīme tikai tad, ja ir izvēlēts konkrēts  $Q$  (piemēram, gareniskā ātruma komponente vai spiediens). Šajā gadījumā [8] lokālo viļņu numuru  $k_L$  var noteikt, izmantojot formulu:

$$k_L(x, y) = -i \frac{\partial}{\partial x} \ln Q(x, y), \quad (4.23)$$

kur  $k_L = k_{L_r} + ik_{L_i}$ .

Lai salīdzinātu vāji nelineāro modeli (4.18) ar eksperimentāliem datiem, jāveic šādi soļi:

- izvēlas plūsmas daudzumu  $Q$ ;
- izmēra daudzumu  $Q$  kādā punktā  $(x, y)$ ;
- aprēķina (4.23) tajā pašā punktā  $(x, y)$ .

Kopumā vāji nelineāro modeli (4.18) var izmantot, ja ir pieejami detalizēti eksperimentālie dati vai nelineāro seklā ūdens vienādojumu atrisinājuma skaitliskie rezultāti bāzes plūsmas komponentēm.

## 5. Stabilitāte seklā ūdens plūsmu sajaukšanās slāniem ar mainīgu berzi

### 5.1. Lineārā stabilitāte

Tiek analizēta lineārā stabilitāte gadījumā, kurā berzes koeficients mainās šķērsvirzienā ([17], [18], [22], [28]).

Berzes koeficiente  $c_f(y)$  atkarība no šķērsvirziena koordinātas  $y$  tiek pieņemta formā:

$$c_f(y) = c_{f_0}\gamma(y), \quad (5.1)$$

kur  $\gamma(y)$  diferencējama formas funkcija.

Apzīmēsim atvasinājumu no  $c_f(y)$  pēc  $y$

$$c_{f_y}(y) = c_{f_0}\gamma'(y), \quad (5.2)$$

Seklā ūdens vienādojumi (1.1)–(1.3) tiek pārrakstīti formā:

$$L_l \psi_1 = 0, \quad (5.3)$$

kur

$$\begin{aligned} L_l \psi &\equiv \psi_{xxt} + \psi_{yyt} + \psi_{0y}\psi_{xxx} + \psi_{oy}\psi_{yyx} - \psi_{0yyy}\psi_x \\ &+ \frac{c_f}{2h} (\psi_{0y}\psi_{xx} + 2\psi_{oyy}\psi_y + 2\psi_{0y}\psi_{yy}) + \frac{c_{f_y}}{h} \psi_{0y}\psi_y. \end{aligned} \quad (5.4)$$

Izmantojot normālo modu metodi, perturbācija  $\psi_1$  tiek meklēta formā:

$$\psi_1(x, y, t) = \varphi(y) e^{i(\alpha x - \beta t)}. \quad (5.5)$$

Ievietojot (5.5) vienādojumā (5.4), iegūstam robežuzdevumu:

$$\begin{aligned} & \varphi_{yy}(\alpha U - \beta - i\gamma S U_y) - i\gamma S U_y \varphi_y - i\gamma' S U \varphi_y \\ & + \varphi \left( \alpha^2 \beta - \alpha^3 U - \alpha U_{yy} + \frac{i\alpha^2 U \gamma}{2} \right) = 0, \end{aligned} \quad (5.6)$$

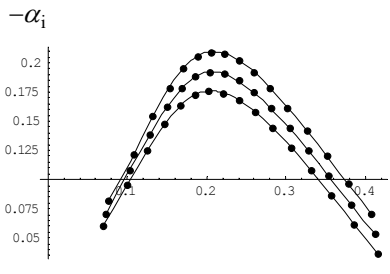
$$\varphi(\pm\infty) = 0. \quad (5.7)$$

Lai aprēķinātu perturbācijas augšanas ātrumu bāzes plūsmai  $U(y)$  un formas funkcijai  $\gamma(y)$ , tiek izmantoti šādi profili:

$$\gamma(y) = \frac{1}{2}(1 + \tanh y), \quad (5.8)$$

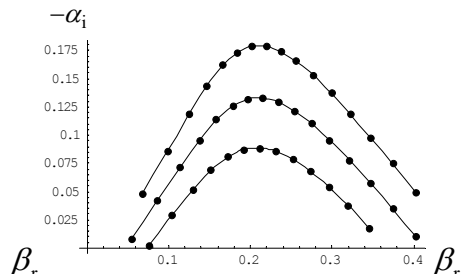
$$U(y) = \frac{1}{2}(1 - \tanh y). \quad (5.9)$$

Formas funkcijas  $\gamma(y)$  izvēle (5.8) ir balstīta uz šādu pieņēmumu – jo spēcīgāka berze, jo bāzes plūsmas ātrums kļūst mazāks. Lai novērstu pārtraukuma punktus berzes spēka funkcijai, kura izmantota [61], ir izvēlēta funkcija  $\gamma(y)$ , kas mainās atkarībā no šķērsvirziena koordinātas  $y$ .



5.1. att. Pieauguma tempi  $-\alpha_i$

atkarībā no  $\beta_r$   
formas funkcijai (5.8).

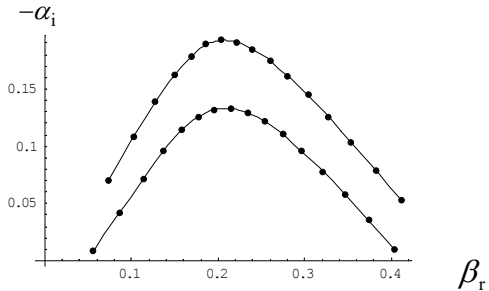


5.2. att. Pieauguma tempi  $-\alpha_i$

atkarībā no  $\beta_r$  vērtībām  
nemainīgam berzes koeficientam.

5.1. attēlā ir parādīti pieauguma tempi trim  $S$  vērtībām ( $S$  ir proporcionāls berzes koeficientam  $c_{f_0}$ ): 0,05; 0,10; 0,15 (no augšas uz leju). Grafikā ir redzams, ka perturbācijas augšanas ātrums ir lielāks mazākām parametra  $S$  vērtībām. Berzes ietekme uz plūsmas stabilitāti (5.2. att.) ir parādīta pieauguma tempiem tām pašām trim  $S$  vērtībām, pieņemot, ka  $\gamma(y)=1$  (nemainīgs berzes koeficients).

No 5.2. attēla ir redzams, ka parametra  $S$  pieaugums stabilizē plūsmu. 5.1. un 5.2. attēla salīdzinājums rāda, ka perturbācijas augšanas ātrums nehomogēnas berzes gadījumā ir lielāks. Šis fakts ir redzams 5.3. attēlā



5.3. att. Perturbācijas augšanas ātrums parametram  $S = 0,1$  (augšā – ar mainīgu berzes koeficientu, apakšā – ar nemainīgu).

Eksperimentālie dati [61] liecina, ka bāzes plūsmas ātruma profils ir asimetrisks attiecībā pret šķērsvirziena koordinātu.

Lai aprēķinātu pieauguma tempu nestabilai perturbācijai, bāzes plūsmai  $U(y)$  tiek izmantots divu parametru profils ([23], [24]):

$$U(y) = \begin{cases} 1 + r \tanh y, & y < 0 \\ 1 + \frac{r}{\delta} \tanh \delta y, & y > 0 \end{cases}. \quad (5.10)$$

Apskatīsim vienādojumu [7]:

$$\varphi'' \left( ik(U - c) + \frac{c_f}{h} U \right) + \varphi' S U_y + \varphi \left( \frac{ik^3 c - ik^3 U - ik U_{yy}}{-\frac{k^2 c_f U}{2h}} \right) = 0, \quad (5.11)$$

un robežnosacījus:

$$\varphi(\pm\infty) = 0. \quad (5.12)$$

Pretestības spēks ir formā [61]:

$$D = \begin{cases} 1/2 \rho (C_D a + c_f/h) U_1^2, & y < 0 \\ 1/2 \rho c_f / h U_2^2, & y > 0 \end{cases}, \quad (5.13)$$

kur  $\rho$  – šķidruma blīvums;

$C_D$  – vidējais pretestības koeficients;

$a$  – vidējā cietā frontālā daļa vienā tilpuma vienībā plaknē, kas ir perpendikulāra plūsmai [61].

Saistību starp slāni ar veģetāciju un galveno kanālu raksturo bezizmēra parametrs:

$$\gamma = \frac{C_D a}{C_D a + 2c_f / h}, \quad (5.14)$$

turklāt kopējo pretestību var izmērīt ar vispārējo gultnes berzes parametru:

$$S = \left( \frac{C_D a}{2} + \frac{c_f}{h} \right) b, \quad (5.15)$$

kur  $b$  ir bīdes slāņa platums.

Izmantojot (5.11), (5.13), (5.14) un (5.15), vienādojumu (5.11) iegūstam formā:

$$(c - U)\varphi_{yy} + (U_{yy} + k^2(U - c))\varphi = \frac{SH(y)U}{ik}\left(\varphi_{yy} + \frac{U_y\varphi_y}{U} - \frac{k^2\varphi}{2}\right), \quad (5.16)$$

kur

$$H(y) = \begin{cases} 1 + \gamma, & y < 0 \\ 1, & y = 0 \\ 1 - \gamma, & y > 0 \end{cases}. \quad (5.17)$$

Robežuzdevums (5.16) un (5.12) tiek atrisināts skaitliski, izmantojot kolokācijas metodi, kas balstās uz Čebiševa polinomiem. Šī uzdevuma risināšanai izmantota *IMSL* programmatūras pakete.

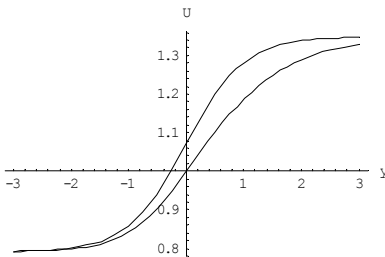
Vērtības  $H$  aizvietotas ar hiperboliska tangensa funkciju formā  $\tanh \delta y$  ar lielām  $\delta$  vērtībām, lai novērstu funkcijas pārtraukumu pie  $y = 0$ .

Lai salīdzinātu iegūtos asimetriska ātruma profila (5.10) rezultātus ar simetrisku gadījumu, izmantojam šādu simetriskā ātruma profilu:

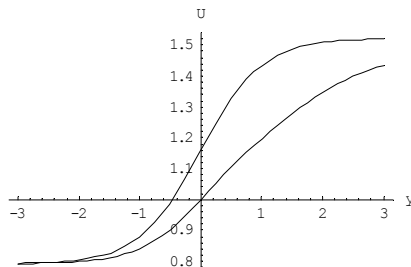
$$U(y) = 1 - \frac{r}{2} + \frac{r}{2\delta} + \left( \frac{r}{2} + \frac{r}{2\delta} \right) \tanh y . \quad (5.18)$$

Abiem profiliem (5.10) un (5.18) ir tādas pašas asymptotas pie  $y \rightarrow \pm\infty$ .

Bāzes plūsmas ātruma profiliem (5.10) un (5.18) līknes ir parādītas 5.4. un 5.5. attēlā divām  $\delta$  vērtībām. Parametra  $r$  loma ir redzama no 5.4. un 5.5. attēla. Mazakām  $r$  vērtībām līkne ātrāk tuvojas horizontālajai asymptotai nekā lielākām  $r$  vērtībām, ja pamata plūsmas ātruma profils ir asimetrisks attiecībā pret šķērsvirzienu koordinātu  $y$ .



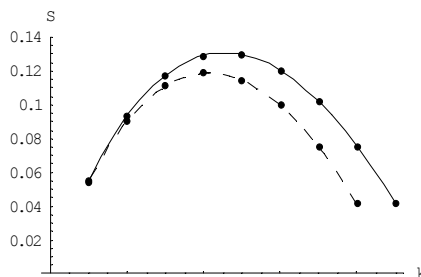
5.4. att. Bāzes plūsmas ātruma profili (5.10) un (5.18) pie  $\gamma = 0.8$ ,  $\delta = 0.8$  (attiecīgi augšējā un apakšējā līkne).



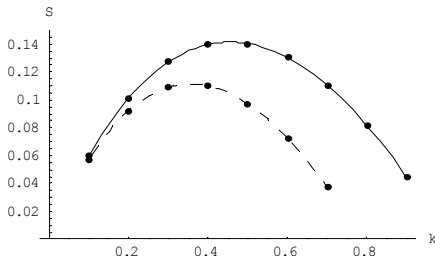
5.5. att. Bāzes plūsmas ātruma profili (5.10) un (5.18) pie  $\gamma = 0.8$ ,  $\delta = 0.6$  (attiecīgi augšējā un apakšējā līkne).

5.6.–5.8. attēlā ir parādītas uzdevuma (5.16) un (5.12) risinājuma stabilitātes līknes ( $k, S$ ) plaknē dažādām parametru vērtībām. Marginālās stabilitātes līknes redzamas gan simetriskā gadījumā (bāzes plūsma formā (5.18), nepārtrauktā līkne), gan asimetriskā gadījumā (bāzes plūsma formā (5.10), raustītā līkne).

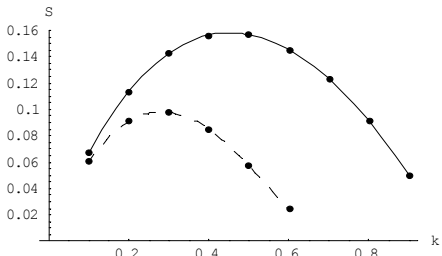
No 5.6., 5.7. un 5.8. attēla redzams, ka bāzes plūsmas asimetrija dod stabilizējošu ietekmi. Asimetriskā plūsma kļūst stabilāka, ja parametra  $S$  kritiskā vērtība kļūst mazāka. Turklāt nestabilu  $k$  diapazons arī samazinās.



5.6. att. Marginālās stabilitātes līknes:  $\gamma = 0.8$ ,  $\delta = 0.8$ .



5.7. att. Marginālās stabilitātes līknēs:  
 $\gamma = 0,8$ ,  $\delta = 0,6$ .



5.8. att. Marginālās stabilitātes līknēs:  
 $\gamma = 0,8$ ,  $\delta = 0,4$

Skaitliskie aprēķini liecina par bāzes plūsmas profilu asimetrijas stabilizējošo ietekmi: ja abas kritiskās vērtības  $k$  un  $S$  samazinās, asimetrija klūst vēl izteiktāka.

## 5.2. Vāji nelineārā stabilitāte

Lineārās stabilitātes analīze ir efektīvs instruments, kas ļauj noteikt nosacījumus, pie kuriem plūsma zaudē stabilitāti. No otras puses, lineārās stabilitātes analīze neļauj aprakstīt perturbācijas attīstību. Gadījumā, ja pieauguma ātrums ir salīdzinoši neliels, perturbācijas amplitūdas attīstības vienādojuma sastādīšanai var izmantot vāji nelineāro analīzi.

Atgriezīsimies pie vienādojuma (5.3). Izmantojot normālo modu metodi, perturbācija  $\psi_1$  tiek meklēta formā:

$$\psi(x, y, t) = \varphi(y) e^{ik(x-ct)}. \quad (5.19)$$

Iegūstam robežuzdevumu:

$$(Uk - ck - i\gamma SU)\varphi_1'' - i(\gamma SU_y + \gamma_y SU)\varphi_1' + \left( \begin{array}{l} k^3 c - k^3 U - kU_{yy} \\ + ik^2 \gamma \frac{S}{2} U \end{array} \right) \varphi_1 = 0 \quad (5.20)$$

$$\varphi(\pm\infty) = 0. \quad (5.21)$$

Otrs tuvinājums (pie  $\varepsilon^2$ ) ir iegūts formā:

$$L\psi_2 = \hat{f}_2. \quad (5.22)$$

Funkciju  $\psi_2$  aprēķina pēc (2.22) un tiek iegūti trīs robežuzdevumi:

- funkcijai  $\varphi_2^{(0)}$

$$2\gamma S \left( U_y \varphi_{2y}^{(0)} + U \varphi_{2yy}^{(0)} \right) + 2\gamma_y S U = ik \begin{pmatrix} \varphi_{1y} \varphi_{1yy}^* - \varphi_{1y}^* \varphi_{1yy} \\ + \varphi_1 \varphi_{1yyy}^* - \varphi_1^* \varphi_{1yyy} \end{pmatrix} \quad (5.23)$$

$$- \frac{\gamma S}{2} \begin{pmatrix} k^2 \varphi_1 \varphi_{1y}^* + k^2 \varphi_1^* \varphi_{1y} \\ + 2\varphi_{1y} \varphi_{1yy}^* + 2\varphi_{1y}^* \varphi_{1yy} \end{pmatrix} - \frac{\gamma_y S}{2} \left( \varphi_1 \varphi_1^* + 2\varphi_{1y} \varphi_{1y}^* \right)$$

$$\varphi_2^{(0)}(\pm\infty) = 0. \quad (5.24)$$

- funkcijai  $\varphi_2^{(1)}$

$$\begin{pmatrix} ikU - ikc \\ + \gamma S U \end{pmatrix} \varphi_{2yy}^{(1)} + S \left( \gamma U_y + \gamma_y U \right) \varphi_{2y}^{(1)} + \begin{pmatrix} ik^3 c - ik^3 U \\ - ikU_{yy} - \frac{\gamma S}{2} U k^2 \end{pmatrix} \varphi_2^{(1)} \quad (5.25)$$

$$= (c_g - U) \varphi_{1yy} + (-c_g k^2 - 2k^2 c + 3Uk^2 + U_{yy} - i\gamma S U k) \varphi_1$$

$$\varphi_2^{(1)}(\pm\infty) = 0. \quad (5.26)$$

- funkcijai  $\varphi_2^{(2)}$

$$\begin{pmatrix} 2ikU \\ - 2ikc + \gamma S U \end{pmatrix} \varphi_{2yy}^{(2)} + \begin{pmatrix} \gamma S U_y \\ + \gamma_y S U \end{pmatrix} \varphi_{2y}^{(2)} + \begin{pmatrix} 8ik^3 c - 8ik^3 U \\ - 2ikU_{yy} - 2\gamma S k^2 U \end{pmatrix} \varphi_2^{(2)} \quad (5.27)$$

$$= ik \left( \varphi_1 \varphi_{1yyy} - \varphi_{1y} \varphi_{1yy} \right) + \frac{\gamma S}{2} \begin{pmatrix} 3k^2 \varphi_1 \varphi_{1y} \\ - 2\varphi_{1y} \varphi_{1yy} \end{pmatrix} + \frac{\gamma_y S}{2} \left( \frac{k^2}{2} \varphi_1^2 + \varphi_1^2 \right)$$

$$\varphi_2^{(2)}(\pm\infty) = 0. \quad (5.28)$$

Skaitliski atrisinot robežuzdevumus (5.23) un (5.24), (5.25) un (5.26), (5.27) un (5.28), tiek iegūtas funkcijas  $\varphi_2^{(0)}(y)$ ,  $\varphi_2^{(1)}(y)$  un  $\varphi_2^{(2)}(y)$ . Pēc tam tiek aprēķināta funkcija  $\psi_2$  (2.22).

Saistītais robežuzdevums ir šāds:

$$L^a \varphi_1^a = 0, \quad (5.29)$$

$$\varphi_1^a(\pm\infty) = 0, \quad (5.30)$$

kur

$$\begin{aligned} L^a \varphi_1^a &\equiv \varphi_{1yy}^a \left( U - c - \gamma S U \frac{i}{k} \right) + \varphi_{1y}^a \left( 2U_y - \frac{i}{k} (\gamma S U_y + \gamma_y S U) \right) \\ &+ \varphi_1^a \left( k^2 c - k^2 U + \frac{ik}{2} \gamma S U \right). \end{aligned} \quad (5.31)$$

Piemērojot vienādojumam (5.29) atrisināmības nosacījumu, iegūstam vienādojumu (5.32), no kura var atrast grupas ātrumu  $C_g$ .

$$\int_{-\infty}^{+\infty} \varphi_1^a \left( (C_g - U) \varphi_{1yy} + (-k^2 C_g - 2k^2 c + 3k^2 U + U_{yy} - ik U \gamma S) \varphi_1 \right) dy = 0. \quad (5.32)$$

Trešais tuvinājums (pie  $\varepsilon^3$ ) ir iegūts formā:

$$L \psi_3 = f_3. \quad (5.33)$$

Piemērojot vienādojumam (5.33) atrisināmības nosacījumu, iegūstam vienādojumu:

$$\int_{-\infty}^{\infty} \varphi_1^a L \psi_3 dy = 0. \quad (5.34)$$

Vienādojums (5.34) tiek pārveidots amplitūdas  $A(\xi, \tau)$  evolūcijas vienādojumā formā:

$$\frac{\partial A}{\partial \tau} = \sigma A + \delta \frac{\partial^2 A}{\partial \xi^2} - \mu |A|^2 A. \quad (5.35)$$

Vienādojums (5.35) ir Ginzburga–Landau vienādojums kompleksā veidā. Vienādojuma koeficienti ir kompleksie skaitļi  $\sigma, \delta$  un  $\mu$ :

$$\sigma = \frac{\sigma_1}{\eta}, \quad \delta = \frac{\delta_1}{\eta}, \quad \mu = \frac{\mu_1}{\eta}, \quad (5.36)$$

kur

$$\eta = \int_{-\infty}^{+\infty} \varphi_1^a (\varphi_{1yy} - k^2 \varphi_1) dy, \quad (5.37)$$

$$\sigma_1 = \int_{-\infty}^{+\infty} \varphi_1^a \left( \frac{\gamma S}{2} \left( -k^2 U \varphi_1 + 2U_y \varphi_{1y} + 2U \varphi_{1yy} \right) - \gamma_y S U \varphi_{1y} \right) dy, \quad (5.38)$$

$$\delta_1 = \int_{-\infty}^{+\infty} \varphi_1^a \left( \begin{aligned} & (c_g - U) \varphi_{2,yy}^{(1)} \\ & + \varphi_2^{(1)} \left( -k^2 c_g - 2k^2 c + 3k^2 U + U_{yy} - ik\gamma S U \right) \\ & + \varphi_1 \left( 2ikc_g + ikc - 3ikU - U \frac{\gamma S}{2} \right) \end{aligned} \right) dy, \quad (5.39)$$

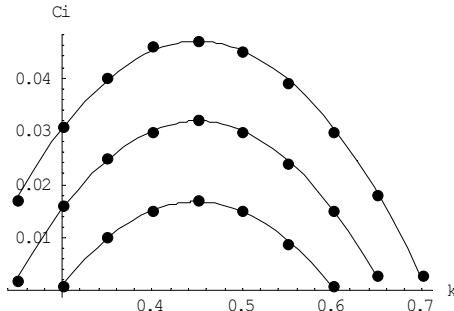
$$\mu_1 = - \int_{-\infty}^{+\infty} \varphi_1^a \left( \begin{aligned} & 6ik^3 \varphi_2^{(2)} \varphi_{1y}^* - 2ik \varphi_{1y}^* \varphi_{2,yy}^{(2)} + 3ik^3 \varphi_1^* \varphi_{2,y}^{(2)} \\ & + ik^3 \varphi_1 (\varphi_{2,y}^{(0)} + \varphi_{2,y}^{*(0)}) - ik \varphi_{1,yy} (\varphi_{2,y}^{(0)} + \varphi_{2,y}^{*(0)}) \\ & + ik \varphi_{2,y}^{(2)} \varphi_{1,yy}^* - ik \varphi_1^* \varphi_{2,yy}^{(2)} \\ & + ik \varphi_1 (\varphi_{2,yy}^{(0)} + \varphi_{2,yy}^{*(0)}) + 2ik \varphi_{1,yy}^* \varphi_2^{(2)} \\ & - k^2 \varphi_1 (\varphi_{2,y}^{(0)} + \varphi_{2,y}^{*(0)}) + 3k^2 \varphi_1^* \varphi_{2,y}^{(2)} \\ & - \frac{\gamma S}{2} \left( -\frac{3k^4}{2u_0} \varphi_1^2 \varphi_1^* + 2\varphi_{1,yy} (\varphi_{2,y}^{(0)} + \varphi_{2,y}^{*(0)}) \right. \\ & \left. + 2\varphi_{1,yy}^* \varphi_{2,y}^{(2)} + 2\varphi_{1y} (\varphi_{2,yy}^{(0)} + \varphi_{2,yy}^{*(0)}) + 2\varphi_{2,yy}^{(2)} \varphi_{1y}^* \right) \\ & - \gamma_y S (-k\varphi_1 \varphi_2^{(2)} + \varphi_{1y} \varphi_{2,y}^{(2)}) \end{aligned} \right) dy \quad (5.40)$$

Īpaši svarīga šajā gadījumā ir reālās daļas  $\mu$  zīme (literatūrā – Landau konstante). Ja Landau konstantei ir "nepareiza zīme" [57], tas nozīmē, ka amplitūdas piesātinājums nebūs iespējams un augstākās kārtas locekļi (attiecībā uz  $A$ ) ātri kļūst dominējoši. Tāpēc modeli (5.35) var izmantot tikai loti isā laikā. Atšķirībā no [57], kas ir aprakstīts [29], [33], [43], seklā ūdens plūsmai Landau konstantei ir "pareizā zīme" ( $\mu_r > 0$ ). Tādējādi (5.35) var izmantot modelēšanai. Atkarībā no koeficientu vērtībām Ginzburga–Landau vienādojumam ir dažādi atrisinājumi [1].

## 6. Skaitliskie rezultāti

No 2. nodaļas apsvērumiem (2.4. att.) var secināt, ka vāji nelineāro pieeju var izmantot tikai nelielā kritiskā punkta apkārtnē. Tātad tieši tur varam piemērot nelineārās analīzes teoriju un aprēķināt Ginzburga–Landau vienādojuma koeficientus. Lai pārliecinātos, ka adekvāti attēlojam nelineārā modeļa dinamiku, izmantosim Suslova un Paolucci [58] kritēriju. Ja nestabilās perturbācijas vilņu skaitļu pieauguma tempus visā nestabilajā diapazonā var aproksimēt ar parabolu, tad Ginzburga–Landau vienādojumu var izmantot, lai aprakstītu plūsmas dinamiku vāji nelineārā režīmā. Lai pārbaudītu šo apgalvojumu, tika aprēķināti vilņu skaitļu  $k$  pieauguma tempi visā nestabilajā diapazonā ( $S < S_c$ ) parametra  $c_i$  vērtībām ( $c = c_r + ic_i$ , kad  $c_i > 0$ ) nedaudz izliektu seklā ūdens plūsmu sajaukšanās slāņu

bāzes plūsmas profilam (2.8). Aprēķinu rezultāti tiek parādīti 6.1. attēlā. Kā redzams no attēla, vīļņu skaitļu pieauguma tempu līknes labi aproksimējas ar parabolu. Tāpēc secinām, ka Ginzburga–Landau vienādojumu var izmantot, lai analizētu plūsmas dinamiku.



6.1. att. Vīļņu skaitļu pieauguma tempa kvadrātiskā aproksimācija (nepārtrauktās līknes) pie  $S = 0,09$ ;  $S = 0,08$ ;  $S = 0,07$  (no augšas uz leju) un  $1/R = 0,03$ .

6.1. tabulā parādīti Ginzburga–Landau vienādojuma (2.38) koeficientu (2.39)–(2.42) skaitlisko aprēķinu rezultāti. Tie tiek veikti bāzes plūsmas profilam (2.8) (2.1. att.) vērtībām  $1/R = 0; 0,01; 0,02; 0,04$ .

6.1. tabula  
Lineārās un vāji nelineārās analīzes parametru vērtības pie dažādiem  $1/R$   
(2. nodaļa) bāzes plūsmas profilam (2.8)

$1/R$	0,00	0,01	0,02	0,04
$k_c$	0,456	0,453	0,449	0,440
$S_c$	0,065	0,058	0,054	0,047
$c_c$	1,954	1,965	1,977	2,004
$\sigma$	$0,184 - 0,016i$	$0,173 - 0,015i$	$0,163 - 0,013i$	$0,141 - 0,009i$
$\mu$	$2,861 + 0,494i$	$3,046 + 0,539i$	$3,244 + 0,590i$	$3,673 + 0,720i$
$c_g$	1,927	1,924	1,922	1,914
$\delta$	$6,487 + 13,238i$	$6,014 + 13,757i$	$5,472 + 14,447i$	$4,124 + 16,524i$

Tālāk parādīti skaitliskie rezultāti vāji nelineārās analīzes gadījumā uzdevumiem, kas apskatīti 5. nodaļā (gadījumā, ja gultnes berze nav homogēna). Lai aprēķinātu perturbācijas augšanas ātrumu bāzes plūsmai un formas funkcijai, tiek izmantoti profili:

$$U(y) = 2 + \tanh y,$$

$$\gamma(y) = \frac{\beta+1}{2} + \frac{\beta-1}{2} \tanh(\lambda y).$$

Ginzburga–Landau vienādojuma koeficientu skaitlisko aprēķinu rezultāti ir parādīti 6.2. tabulā. Katram aprēķinu variantam izmantotas lineārās stabilitātes parametru kritiskās vērtības.

6.2. tabula

Lineārās un vāji nelineārās analīzes parametru vērtības pie  $\beta = 0,3$

$\lambda$	0,25	0,5	1,0	1,5
$k_c$	0,442	0,437	0,438	0,437
$S_c$	0,198	0,205	0,211	0,214
$c_c$	1,972	1,985	2,004	2,018
$\sigma$	$0,195 - 0,487i$	$0,195 - 0,080i$	$0,183 - 0,133i$	$0,174 - 0,173i$
$\mu$	$2,374 + 0,690i$	$2,151 + 0,687i$	$2,090 + 0,516i$	$2,092 + 0,262i$
$c_g$	1,956	1,981	2,007	2,018
$\delta$	$7,077 + 13,243i$	$7,330 + 12,434i$	$7,403 + 10,752i$	$7,255 + 9,645i$

Amplitūdas evolūcijas vienādojumu (5.35) var pārveidot formā [1]:

$$\frac{\partial \tilde{A}}{\partial \tilde{\tau}} = \tilde{A} + (1 + c_1 i) \frac{\partial^2 \tilde{A}}{\partial \tilde{\xi}^2} - (1 + c_2 i) |\tilde{A}|^2 \tilde{A}, \quad (6.1)$$

kur

$$\begin{aligned} \tilde{\tau} &= \tau \sigma_r, & \tilde{\xi} &= \xi \sqrt{\frac{\sigma_r}{\delta_r}}, & \tilde{A} &= A \sqrt{\frac{\mu_r}{\sigma_r}} e^{-ic_0 \sigma_r \tau}, \\ c_0 &= \frac{\sigma_i}{\sigma_r}, & c_1 &= \frac{\delta_i}{\delta_r}, & c_2 &= \frac{\mu_i}{\mu_r}. \end{aligned}$$

Literatūrā [1] un [10] ir zināmi daži risinājumi vienādojumam (6.1) slēgtā formā. Viens no vienkāršākajiem ir viļņu risinājums formā:

$$\tilde{A} = a_0 e^{iq\tilde{\xi} + i\omega\tilde{\tau}}, \quad (6.2)$$

kur

$$a_0 = \sqrt{1 - q^2}, \quad \omega = -c_2 - (c_1 - c_2)q^2.$$

Risinājuma (6.2) stabilitāti var izpētīt, pieņemot, ka [37]:

$$\tilde{A} = (a_0 + \hat{a} e^{ik\tilde{\xi} + \lambda\tilde{\tau}} + \hat{a}^* e^{-ik\tilde{\xi} + \lambda\tilde{\tau}}) e^{iq\tilde{\xi} + i\omega\tilde{\tau}}. \quad (6.3)$$

Ievietojot (6.3) vienādojumā (6.1), iegūstam vienādojumu parametram  $\lambda$ . Stabilitātes nosacījums pie mazām  $k$  vērtībām ir formā

$$1 + c_1 c_2 > 0 \quad (6.4)$$

ar nosacījumu, ka vērtības  $q$  apmierina nevienādību:

$$q^2 < \frac{1+c_1c_2}{2c_2^2}. \quad (6.5)$$

Nosacījums (6.4) ir Benjamina–Feira stabilitātes nosacījums. Ja (6.4) nav izpildīts, risinājumi plakanu vilņu formā (6.2) ir nestabili (tāpēc nevar tikt novēroti eksperimentos).

Ginzburga–Landau vienādojuma (6.1) skaitliskie risinājumi tiek parādīti zemāk dažādām  $c_1$  un  $c_2$  parametru vērtībām, kā arī dažādiem sākotnējiem nosacījumiem. Problēma ir formulēta šādi: atrast risinājumu (6.1) ar dotiem robežnosacījumiem:

$$\tilde{A}|_{\tilde{\xi}=0} = 0, \quad \tilde{A}|_{\tilde{\xi}=L} = 0, \quad (6.6)$$

un sākuma nosacījumu:

$$\tilde{A}|_{\tilde{\tau}=0} = f(\tilde{\xi}). \quad (6.7)$$

Līniju metode, kas īstenota programmas paketē *Mathematica*5, tiek izmantota, lai skaitliski atrisinātu uzdevumu (6.1), (6.6) un (6.7).

6.3. tabulā parādītas skaitliskās koeficientu  $c_1$  un  $c_2$  vērtības pie dažādām  $\lambda$  vērtībām. Kā redzams no 6.3. tabulas, nosacījums (6.4) ir izpildīts visos gadījumos.

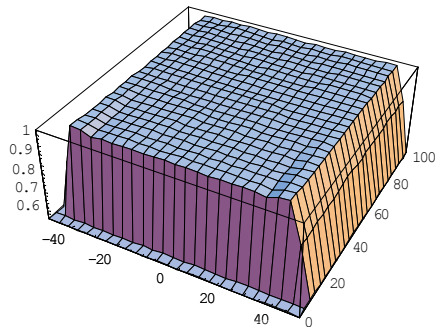
6.3. tabula

Ginzburga–Landau vienādojuma koeficientu

$c_1$  un  $c_2$  vērtības pie  $\beta=0,3$

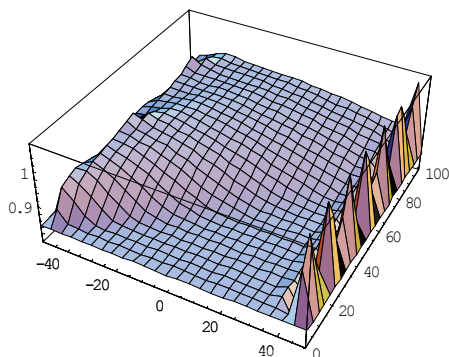
$\beta$	0,3000	0,3000	0,3000	0,3000
$\lambda$	0,25	0,5	1,0	1,5
$c_1 = \delta_i / \delta_r$	1,8713	1,6963	1,4524	1,3294
$c_2 = \mu_i / \mu_r$	0,2906	0,3194	0,2469	0,1252
$1 + c_1 c_2$	2,1619	2,0157	1,6993	1,4547

Pirmais aprēķins ir veikts gadījumā, kad  $c_1 = 1,3293$  un  $c_2 = 0,1251$ . Šo parametru vērtības tiek nemtas no 6.3. tabulas. Sākuma nosacījums (6.7) ir neliels troksnis, kura kārtā ir 0,01. Iegūtie rezultāti ir parādīti 6.3. attēlā. Tā kā uzdevuma parametriem tiek apmierināti nosacījumi (6.4) un (6.5) (atrodas stabilitātes apgabalā), amplitūdas modulis sasniedz konstantu vērtību.



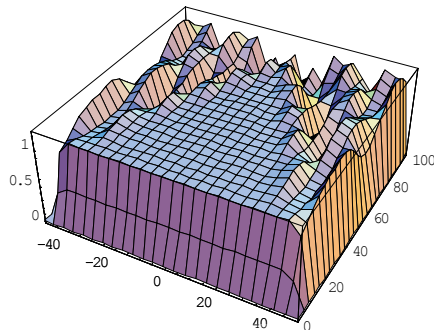
6.3. att.  $|\tilde{A}|$  attēlojums.

Nākamie aprēķini tiek veikti gadījumā, kad  $f(\tilde{\xi}) = \sqrt{1-q^2} e^{iq\tilde{\xi}}$ , kur  $q = 0,5$ . Iegūtie rezultāti ir parādīti 6.4. attēlā.

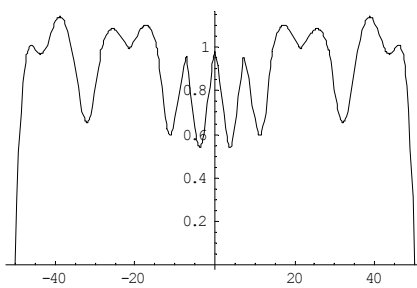


6.4. att.  $|\tilde{A}|$  attēlojums.

Visbeidzot, tiek analizēts gadījums, kad Benjamina–Feira stabilitātes nosacījums (6.4) nav izpildīts. Parametru vērtības ņemtas no [45], kur  $c_1 = -0,799564$  un  $c_2 = 2,189654$  (šie parametri atbilst vāji nelineārās analīzei plūsmai aiz šķēršļiem). Sākuma nosacījums ir neliels troksnis, kura kārtā ir 0,01. Iegūtie rezultāti ir parādīti 6.5 un 6.6. attēlā. Kā var redzēt, šajā gadījumā amplitūdas stabilizācija neiestājas.



6.5. att.  $|\tilde{A}|$  attēlojums.



6.6. att. Beigu  $|\tilde{A}|$  konfigurācija.

Šie piemēri ilustrē, ka Ginzburga–Landau vienādojums ir diezgan bagāts ar dažādiem risinājumiem. Ilustratīvi aprēķini (6.3.–6.6. att.) liecina, ka amplitūdas dinamika laikā un telpā ir atkarīga gan no sākotnējiem nosacījumiem, gan no koeficientu vērtībām. Ir jādefinē piemērojamības apgabals Ginzburga–Landau vienādojumam, jo vienādojums tiek iegūts nelielā kritisko punktu apkārtnē. Rezultātus, kas iegūti, izmantojot Ginzburga–Landau vienādumu (modeli), derētu salīdzināt ar pilnībā nelineāru modelēšanu, lai pārbaudītu modeļa pamatošību. Tas tiek atstāts turpmākajam darbam.

## Secinājumi

Galvenie secinājumi no lineārās stabilitātes analīzes ir šādi:

- plūsmas izliekuma ietekme ir divējāda: aprēķini rāda, ka izliekums dod destabilizējošu ietekmi uz nestabilu izliektu samaisīšanās slāni un stabilizējošu ietekmi uz stabili izliektu samaisīšanās slāni;
- sīku daļiņu esamība plūsmā dod stabilizējošu ietekmi;
- analizēta precizitāte Gastera transformācijai attālumā no marginālās stabilitātes līknes, veicot stabilitātes analīzi pēc  $x$  koordinātas (*spatial stability analysis*).
- parādīta bāzes plūsmas asimetrijas stabilizējošā ietekme;
- parādīts, ka perturbācijas augšanas ātrums nehomogēnas berzes gadījumā ir lielāks.

Tiek izskatītas divas pieejas vāji nelineārās stabilitātes analīzei. Pirmā pieeja pamatojas uz paralēlu plūsmu pieņēmumu. To var izmantot gadījumā, kad gultnes berzes koeficients ir nedaudz mazāks par kritisko vērtību. Izmantojot vairāku mērogu metodi, tiek iegūts amplitūdas evolūcijas vienādojums visnestabilākajam režīmam. Parādīts, ka nedaudz izliektam seklam sajaukšanās slānim, kurš var saturēt vai nesaturēt sīkas daļiņas, amplitūdas vienādojums ir kompleksais Ginzburga–Landau vienādojums. Vienādojuma koeficienti tiek aprēķināti no integrāliem, kas satur plūsmas lineārās stabilitātes parametrus. Tiek aplūkota plakanu vilņu stabilitāte Ginzburga–Landau vienādojumam. Parādīti Ginzburga–Landau vienādojuma skaitliskie aprēķini dažādām parametru vērtībām un sākuma nosacījumiem.

Otra pieeja ņem vērā lēno garenvirziena bāzes plūsmas izmaiņu. Analīzes pamatā ir vāji neparalēla *WKBJ* aproksimācija. Tieki iegūts pirmās kārtas amplitūdas attīstības vienādojums. Amplitūdas vienādojuma atrisinājums tiek izmantots, lai iegūtu pirmās kārtas perturbācijas lauka aproksimāciju.

## Literatūra

1. Aranson, I.S., and Kramer, L. The world of the complex Ginzburg-Landau equation. *Review of Modern Physics*, vol. 74. 2002, pp. 99–143.
2. Blennerhassett, P.J. On the generation of waves by wind. *Philosophical Transaction of the Royal Society of London. Ser. A*, vol. 298. 1980, pp. 451–494.
3. Canuto, M.Y., Hussaini, M.Y., Quarteroni, A., and Zang, T.A. *Spectral methods: fundamentals in single domain*. Springer, 2006.
4. Chaudhry M.H. *Open-channel flow*. Second edition, Springer, 2007.
5. Chen, D., and Jirka, G. H. Linear instability analyses of turbulent mixing layers and jets in shallow water layers. *Journal of Hydraulic Research*, vol. 36. 1998, pp. 815–830.
6. Chu, V.H., and Babarutsi, S. Confinement and bed-friction effects in shallow turbulent mixing layers. *Journal of Hydraulic Engineering*, vol. 114, ASCE. 1988, pp. 1257–1274.
7. Chu, V.H., Wu, J.H., and Khayat, R.E. Stability of transverse shear flows in shallow open channels. *Journal of Hydraulic Engineering*, vol. 177, ASCE. 1991, pp. 1370–1388.
8. Craikton, D.C., and Gaster, M. Stability of slightly divergent jet flow. *Journal of Fluid Mechanics*, vol. 77, part 2. 1976, pp. 397–413.
9. Criminales, W.O., Jackson, T.L., and Joslin, R.D. *Theory and computation of hydrodynamic stability*. Cambridge: Cambridge University Press, 2003.
10. Cross, M.C., and Honenberg, P.C. Pattern formation outside of equilibrium. *Review of Modern Physics*, vol. 65. 1993, pp. 851–1112.
11. Drazin, P.G., and Reid, W.H. *Hydrodynamic stability*. Cambridge University Press, 1981.
12. Eglite, I. Asymptotic analysis of stability of slightly curved two-phase shallow mixing layers. 2nd International Conference on Fluid Mechanics and Heat & Mass Transfer: Recent Researches in Mechanics, Greece, Corfu, 14–16 July 2011. Athens: WSEAS Press, pp. 98-101. ISBN 978-1-61804-020-6.
13. Eglite, I., and Kolyshkin, A. Ginzburg-Landau model for curved two-phase shallow mixing layers. *Proc. of World Academy of Science, Engineering and Technology*, iss. 64. 2012, pp. 146–150. ISSN 2010-376X.
14. Eglite, I., and Kolyshkin, A. Ginzburg-Landau model for stability analysis of fluid flows. *Boundary Field Problems and Computer Simulation*, vol. 50. 2011, pp. 97–100. ISSN 1407-7493.
15. Eglite, I., and Kolyshkin, A. Linear and weakly nonlinear instability of slightly curved shallow mixing layers. *WSEAS Transactions on Fluid Mechanics*, iss .2, vol.6. 2011, pp. 123–132. ISSN 1790-5087.

16. Eglite, I., and Kolyshkin, A. Linear instability of curved shallow mixing layers. Recent Researches in Hydrology, Geology and Continuum Mechanics, United Kingdom, Cambridge, 23–25 February 2011. WSEAS Press, 2011, pp 38–41. ISBN 978-960-474-275-2.
17. Eglite, I., and Kolyshkin, A. Linear instability of shallow mixing layers with non-constant friction coefficient. International Conference on Applied Mathematics and Scientific Computing: Book of Abstracts, Croatia, Šibenik, 10–14 June 2013. Zagreb: University of Zagreb, 2013, pp. 25–26.
18. Eglite, I., and Kolyshkin, A. On the stability of shallow mixing layers with non-uniform friction. The 10<sup>th</sup> Latvian Mathematical Conference. The 2<sup>nd</sup> International Conference on High Performance Computing and Mathematical Modelling. Book of Abstracts, Liepaja, Latvia, 11–12 April 2014. Liepaja: Liepaja University, 2014, pp. 33–33. ISBN 978-9934-522-23-9.
19. Eglite, I., and Kolyshkin, A. Spatial and temporal instability of slightly-curved particle-laden shallow mixing layers. Proceedings of the V International Conference on Computational Methods for Coupled Problems in Science and Engineering, Spain, Ibiza, 17–19 June 2013. Barcelona: CIMNE, 2013, pp. 1249–1256. ISBN 978-84-941407-6-1.
20. Eglite, I., and Kolyshkin, A. Spatial instability of curved shallow mixing layers. 17th International Conference on Mathematical Modelling and Analysis. Abstracts, Estonia, Tallinn, 6–9 June 2012. Tallinn: Tallinn University of Technology, 2012, pp. 71–71.
21. Eglite, I., and Kolyshkin, A. Spatial stability analysis of curved shallow mixing layers. Mathematical Models and Methods in Modern Science: 15th International Conference on Mathematical Methods, Computational Techniques and Intelligent Systems, Cyprus, Limassol, 21–23 March 2013. Athens: WSEAS Press, 2013, pp. 104–108. ISBN 978-1-61804-168-5.
22. Eglite, I., and Kolyshkin, A. Spatial stability analysis of shallow mixing layers with variable friction coefficient. Proceedings of the IASTED International Conference on Modelling, Identification, and Control, MIC 2014, Austria, Innsbruck, 17–19 February 2014. Austria: ACTA Press, pp. 161–165. ISBN 978-0-88986-966-0.
23. Eglite, I., and Kolyshkin, A. Stability of shallow water flow for the case of asymmetric base velocity profile. 8th Latvian Mathematical Conference: Abstracts, Latvia, Valmiera, 9–10 April 2010. Latvia: LMB, 2010, pp. 28–28. ISBN 978-9984-45-173-2.
24. Eglite, I., and Kolyshkin, A. The effect of asymmetry of base flow profile on the linear stability of shallow mixing layers. Non-Linear Systems and Wavelet Analysis: Proceedings of the 10th WSEAS International Conference on Wavelet Analysis and Multirate Systems, Tunisia, Kantaoui, Sousse, 3–6 May 2010. WSEAS Press, 2010, pp. 109–112. ISBN 978-960-474-189-2.

25. Eglite, I., and Kolyshkin, A. The effect of flow curvature on linear and weakly nonlinear instability of shallow mixing layers. 16th International Conference on Mathematical Modelling and Analysis. Abstracts, Latvia, Sigulda, 25–28 May 2011. Riga: University of Latvia, 2011, pp. 40–40. ISBN 978-9984-45-351-4.
26. Eglite, I., and Kolyshkin, A. The effect of slow variation of base flow profile on the stability of slightly curved mixing layers. Proceedings of World Academy of Science, Engineering and Technology, iss. 76, 2011, pp 624–627. ISSN 2010-3778.
27. Eglite, I., and Kolyshkin, A. Weakly nonlinear methods for stability analysis of slightly curved two-phase shallow mixing layers. International Conference on Applied Mathematics and Sustainable Development: Special Track within SCET2012, China, Xi'an, 27–30 May 2012, Xi'an: Scientific Research Publishing, 2012, pp. 271–274. ISBN 978-1-61896-023-8.
28. Eglite, I., Kolyshkin, A., and Ghidaoui, M. Weakly nonlinear analysis of shallow mixing layers with variable friction. Materials of the 11th World Congress on Computational mechanics, 5th European Conference on Computational mechanics, 6th European Conference on Computational Fluid Dynamics, Spain, Barcelona, 20–25 July 2014. Barcelona: CIMNE, 2014, pp. 1–2. ISBN 978-84-942844-7-2.
29. Feddersen, F. Weakly nonlinear shear waves. *Journal of Fluid Mechanics*, vol. 372. 1998, pp. 71–91.
30. Forsythe, G.E., Malcolm, M.A., and Moler, C.B. Computer methods for mathematical computations. Prentice Hall. 1977.
31. Gaster, M. A note on the relation between temporally-increasing and spatially-increasing disturbances in hydrodynamic stability. *Journal of Fluid Mechanics*, vol. 14. 1962, pp. 222–224.
32. Ghidaoui, M.S., and Kolyshkin, A.A. Linear stability analysis of lateral motions in compound open channels. *Journal of Hydraulic Engineering*, vol.125, ASCE. 1999, pp. 871–880.
33. Ghidaoui, M.S., Kolyshkin, A.A., Liang, J.H., Chan, F.C., Li, Q., and Xu, K. Linear and nonlinear analysis of shallow wakes. *Journal of Fluid Mechanics*, vol. 548. 2006, pp. 309–340.
34. Gibson, M.M., and Younis, B.A. Turbulence measurements in a developing mixing layer with mild destabilizing curvature. *Experiments in Fluids*, vol. 1. 1983, pp. 23–30.
35. Godréche, C., and Manneville P. Hydrodynamics and nonlinear instabilities. Cambridge University Press, 1998.
36. Golub, G.H., and Loan, C.F. Matrix computations. The Johns Hopkins University Press, 1983.
37. Heinrichs, W. Improved condition number for spectral methods. *Mathematics of Computation*, vol. 53, no. 187. 1989, pp. 103–119.
38. Hu, F.Q., Otto, S.R., and Jackson, T.L. On the stability of a curved mixing layer. Proc. ICASE Workshop on Transition, Turbulence and Combustion. New York: Kluwer, 1993, pp. 107–116.

39. Jirka, G.H. Large scale flow structures and mixing processes in shallow flows. *Journal of Hydraulic Research*, vol. 39. 2001, pp. 567–573.
40. Kevorkian, J., and Cole, J.D. *Multiple scale and singular perturbation methods*. Springer, 1996.
41. Kolyshkin, A., and Ghidaoui, M. S. Gravitational and shear instabilities in compound and composite channels. *Journal of Hydraulic Engineering*, vol. 128, ASCE. 2002, pp. 1076–1086.
42. Kolyshkin, A., and Nazarovs, S. Stability of slowly diverging flows in shallow water. *Mathematical modeling and analysis*, no. 1. 2007, pp. 101-106.
43. Kolyshkin, A.A., and Ghidaoui, M.S. Stability analysis of shallow wake flows. *Journal of Fluid Mechanics*, vol. 494. 2003, pp. 355–377.
44. Kolyshkin, A.A., and Nazarovs, S. Linear and weakly nonlinear analysis of two-phase shallow wake flows. *WSEAS Transactions on Mathematics*, vol. 6, no. 1. 2007, pp. 1–8.
45. Kolyshkin, A.A., and Nazarovs, S. The effect of particles on linear and weakly nonlinear instability of two-phase shallow flows. *Progress in industrial mathematics at ECMI*. Springer. 2006, pp. 784–789.
46. Leblanc, S. Amplification of nonlinear surface waves by wind. *Physics of Fluids*, vol. 19. 2007, pp. 101705-1–101705-4.
47. Leweke, T., and Provansal, M. The flow behind rings: bluff body wakes without end effects. *Journal of Fluid Mechanics*, vol. 288. 1995, pp. 265-310.
48. Liggett J. A. *Fluid mechanics*. New York: McGraw Hill, 1994.
49. Lin C. C. *The theory of hydrodynamic stability*. Cambridge: Cambridge University Press, 1955.
50. Liou, W.W. Linear instability of curved free shear layers. *Physics of Fluids*, vol. 6. 1993, pp. 541–549.
51. Nazarovs S. Linear and weakly non-linear stability analysis of shallow fluid flows in open systems. Ph. D. Thesis
52. Prooijen, B.C., and Uijttewaal, W. S. J. A linear approach for the evolution of coherent structures in shallow mixing layers. *Physics of Fluids*, vol. 14. 2002, pp. 4105–4114.
53. Provansal, M., Mathis, C., and Boyer, L. The Bénard-von Kármán instability: transient and forced regimes. *Journal of Fluid Mechanics*, vol. 182. 1987, pp. 1–22.
54. Schlichting, H. *Boundary layer theory*. New York: McGraw Hill, 1979.
55. Schmid, P.J., and Henningson, D.S. *Stability and transition in shear flows*. New York: Springer, 2001.
56. Shumm, M., Berger, E., and Monkewitz, P.A. Self-excited oscillations in the wake of two-dimensional bluff bodies. *Journal of Fluid Mechanics*, vol. 271. 1994, pp. 17–53.
57. Stewartson, K., and Stuart, J.T. A non-linear instability theory for a wave system in plane Poiseuille flow. *Journal of Fluid Mechanics*, vol. 48. 1971, pp. 529–545.

58. Suslov, S.A., and Paolucci, S. Stability of non-Boussinesq convection via the complex Ginzburg–Landau model. *Fluid Dynamics Research*, vol. 35, iss. 3. 2004, pp. 159–203.
59. Uijttewaal, W.S.J., and Booij, R. Effect of shallowness on the development of free-surface mixing layers. *Physics of Fluids*, vol. 12. 2000, pp. 392–402.
60. Uijttewaal, W.S.J., and Tukker, J. Development of quasi two-dimensional structures in a shallow free-surface mixing layer. *Experiments in Fluids*, vol. 24. 1998, pp. 192–200.
61. White, B.L., and Nepf, H.M. Shear instability and coherent structures in shallow flow adjacent to a porous layer. *J. Fluid. Mech.*, vol. 593. 2007, pp. 1–32.
62. Yang, Y., Chung, J.N., Trout, T.R., and Crowe, C.T. The effect of particles on the stability of a two-phase wake flow. *International Journal of Multiphase Flow*, vol. 19. 1993, pp. 137–149.
63. Yang, Y., Chung, J.N., Trout, T.R., and Crowe, C.T. The influence of particles on the spatial stability of two-phase mixing layers. *Physics of Fluids*, vol. A2 (10). 1990, pp. 1839–1845.
64. Zwillinger D. *Handbook of differential equations*. Academic Press, 1998.